



**J-PET**

**modułowy detektor szerokiego zastosowania,  
czyli jak w Polsce łączyć badania podstawowe i stosowane**

Eryk Czerwiński w imieniu grupy J-PET

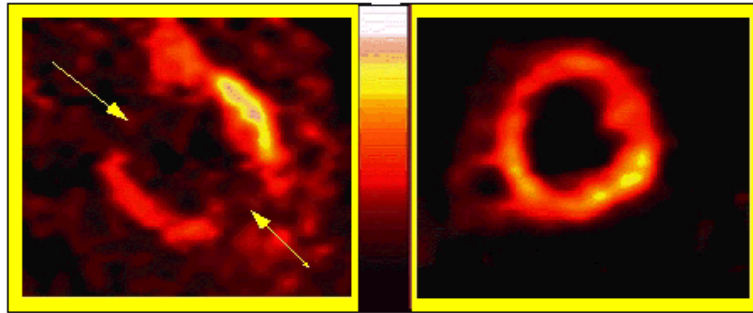
11 V 2017  
Wydział Fizyki  
Uniwersytet Warszawski

# Plan



1. *Klasyczny* TOF-PET
2. Nowy pomysł
3. Realizacja
4. Wyniki

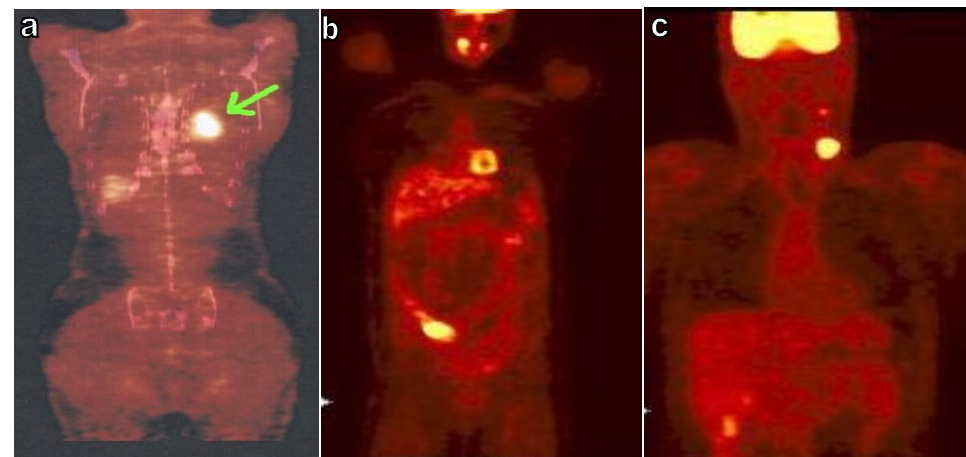
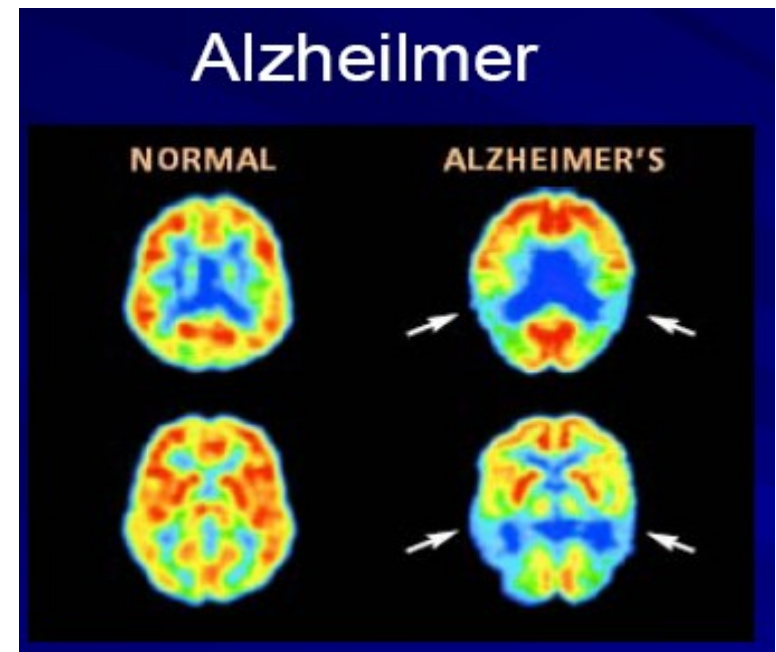
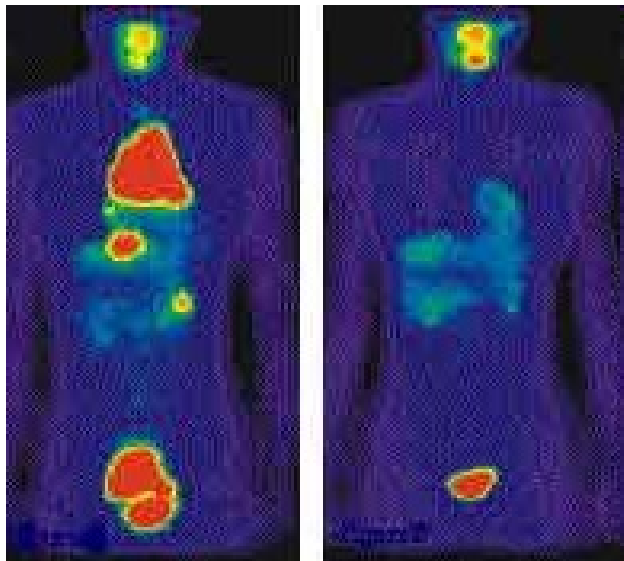
# Obrazowanie PET



Serce po zawale

Serce zdrowego człowieka

*Nowotwór przed (po lewej) i  
•po terapii (po prawej)*



Nowotwór a) płuca b) jelita grubego c) szyi

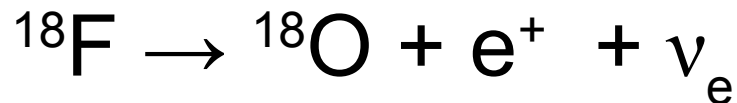
# Procedura PET

Increased glycolysis in tumor cells  
-Warburg phenomenon-  
20-30 time higher glucose metabolism

Due to the structure differences between  
glucose and FDG, FDG is trapped  
In malignant cells.

## RADIOACTIVE SUGER

Fluoro-deoxy-glucose  
(F-18 FDG)



Przygotować radiofarmaceutyk

- wytworzyć odpowiedni izotop promieniotwórczy (fizyk)
- dokonać syntezy farmaceutyku wykorzystując przygotowany izotop promieniotwórczy (chemik)

Podać radiofarmaceutyk pacjentowi (lekarz)

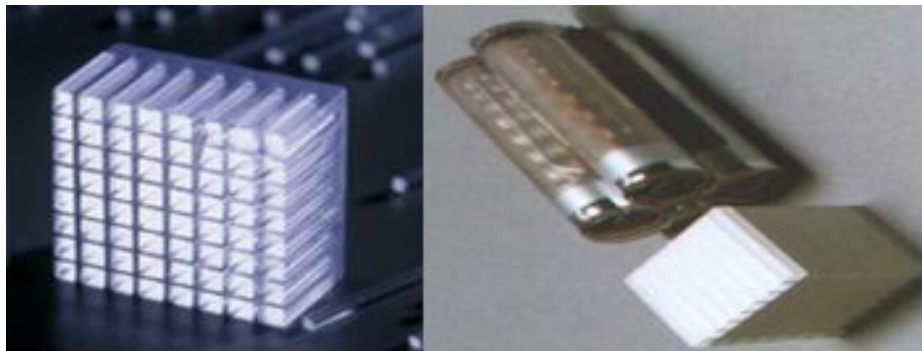
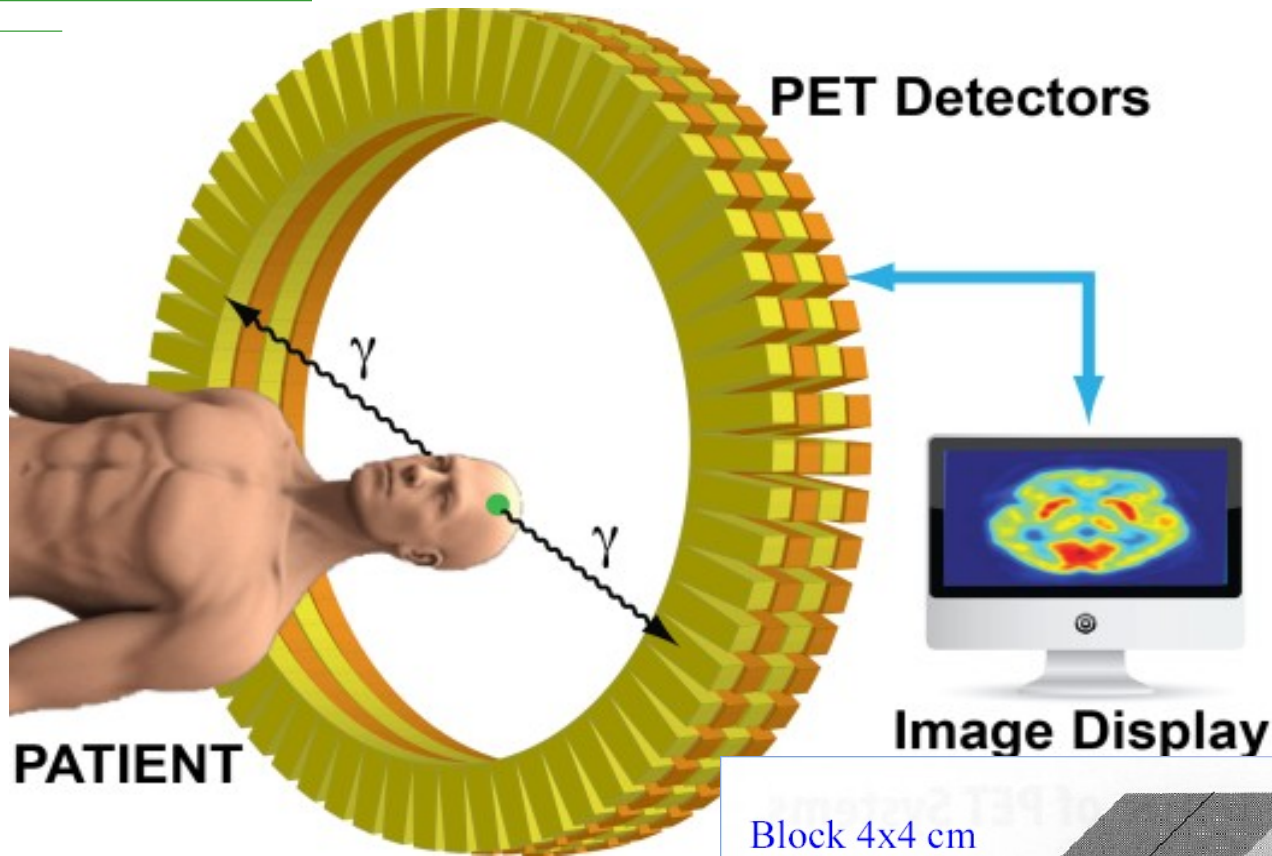
Wykonać pomiar rozkładu promieniowania anihilacyjnego wokół pacjenta (fizyk)

Zrekonstruować rozkład gęstości farmaceutyku w pacjencie (matematyk)

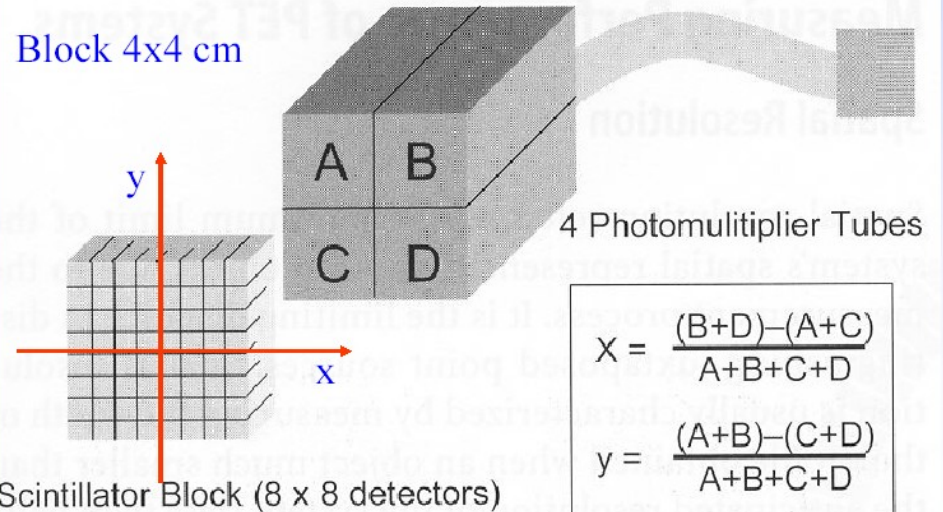
Zinterpretować otrzymany obraz (lekarz)



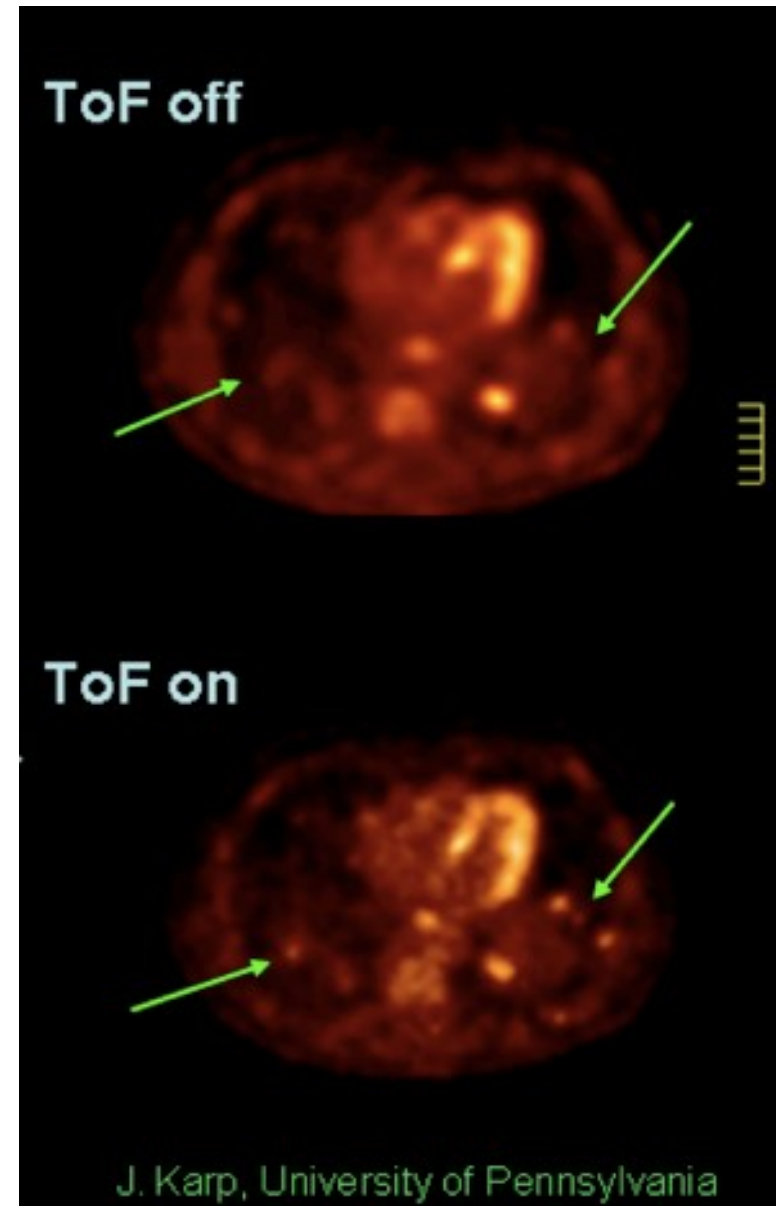
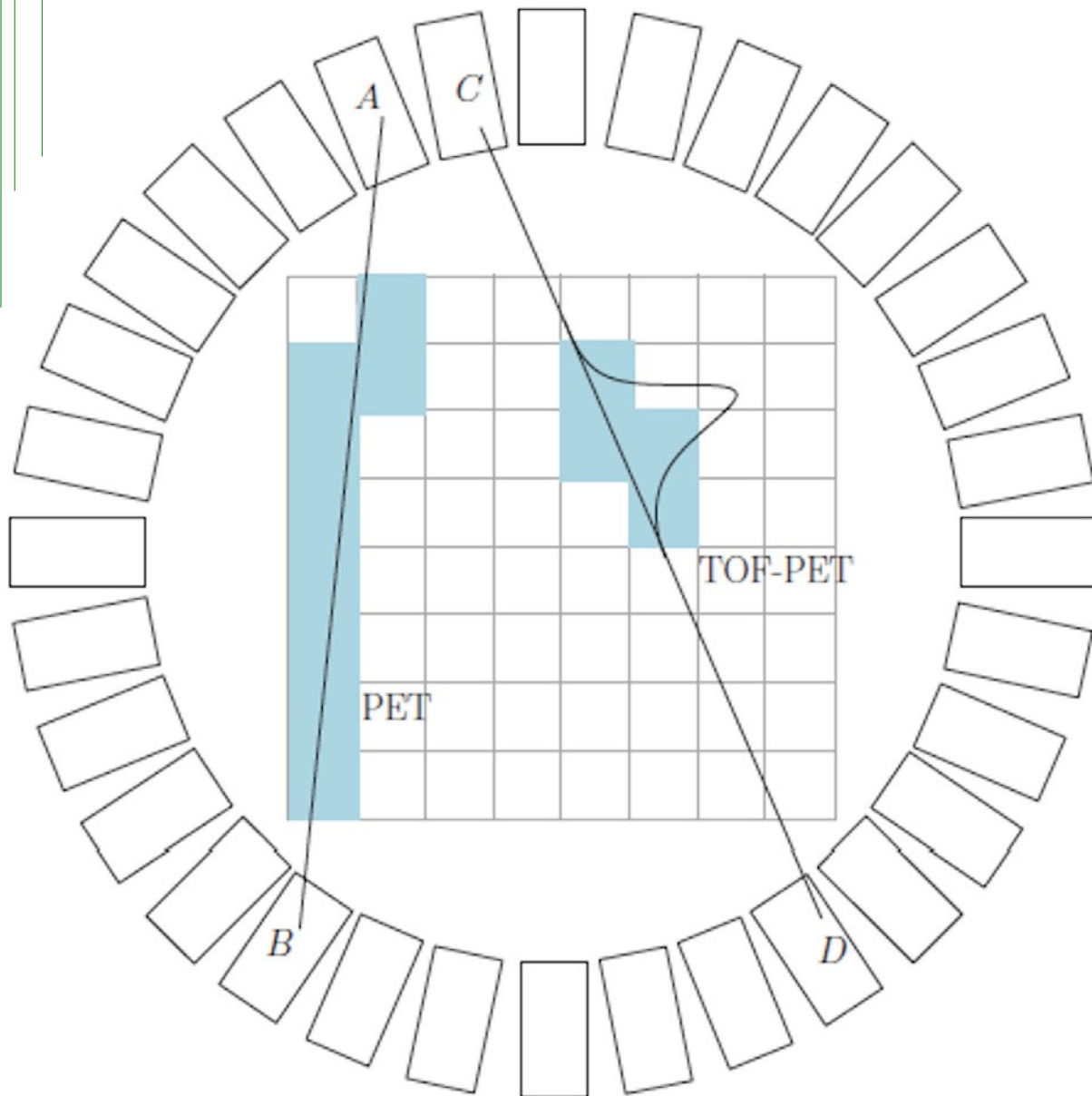
# Zasada działania



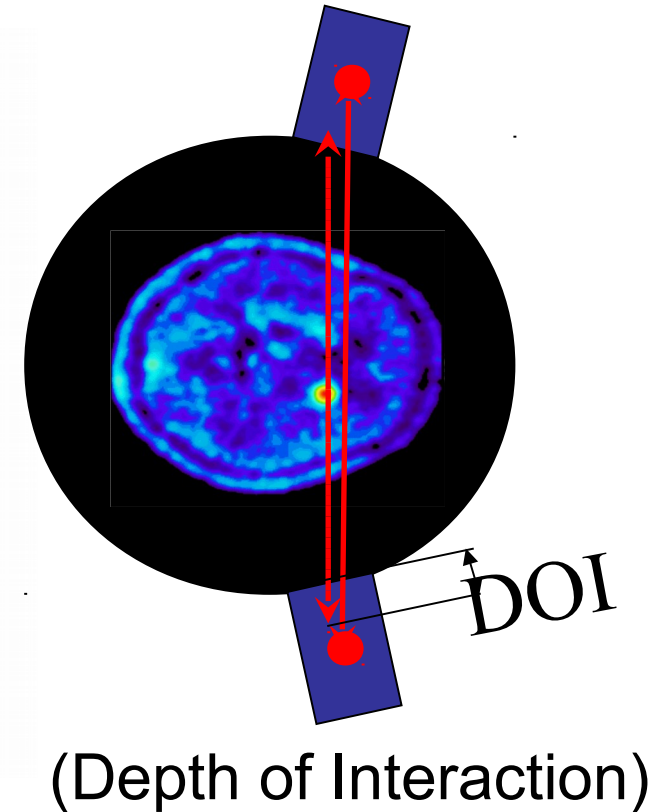
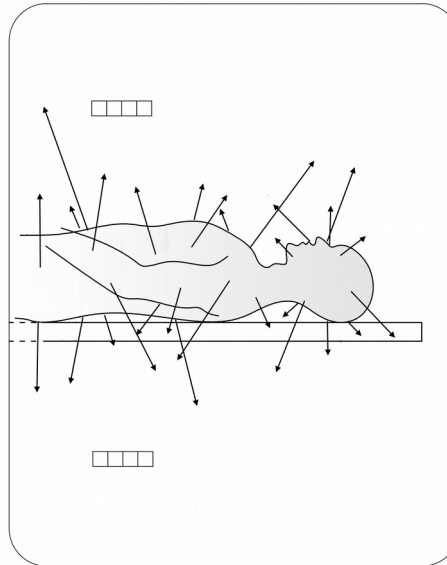
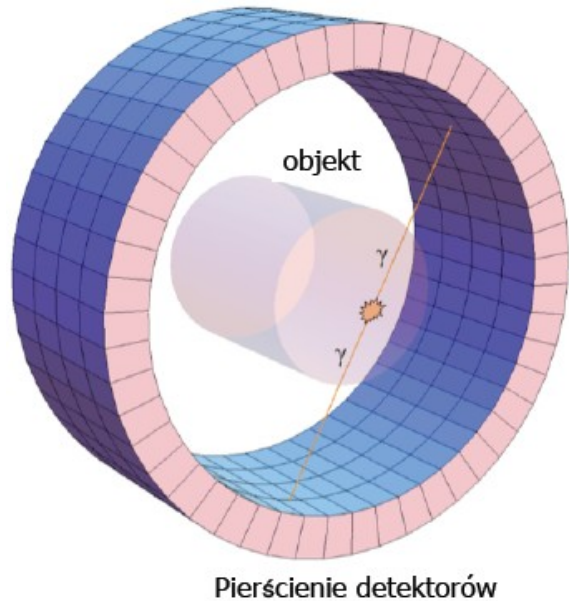
Block 4x4 cm



# TOF-PET



# Problemy



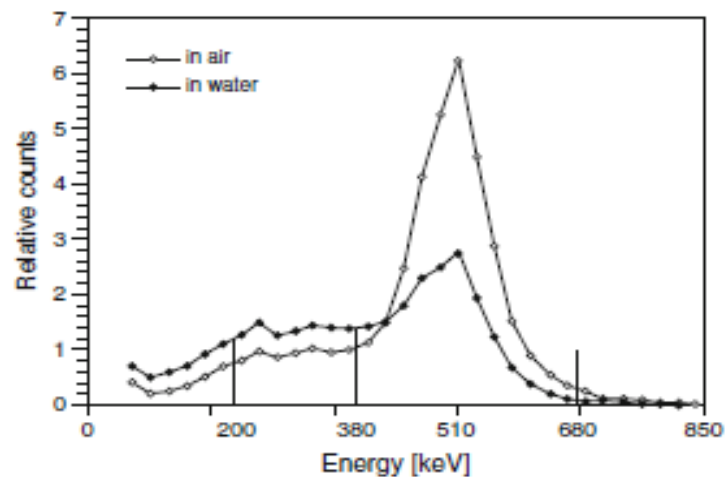
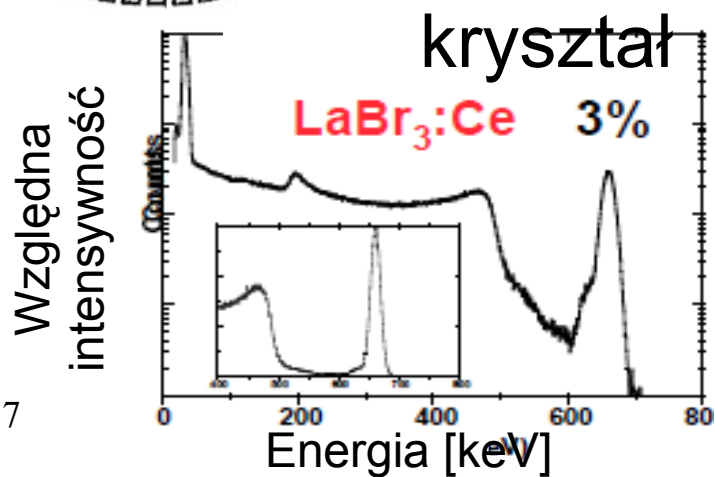
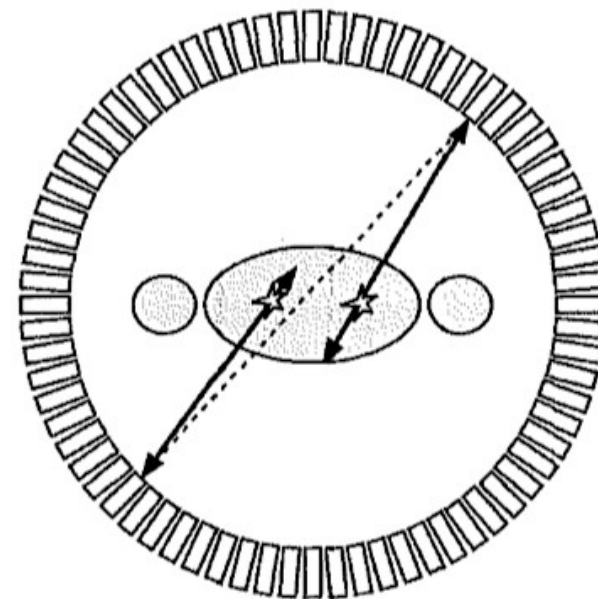
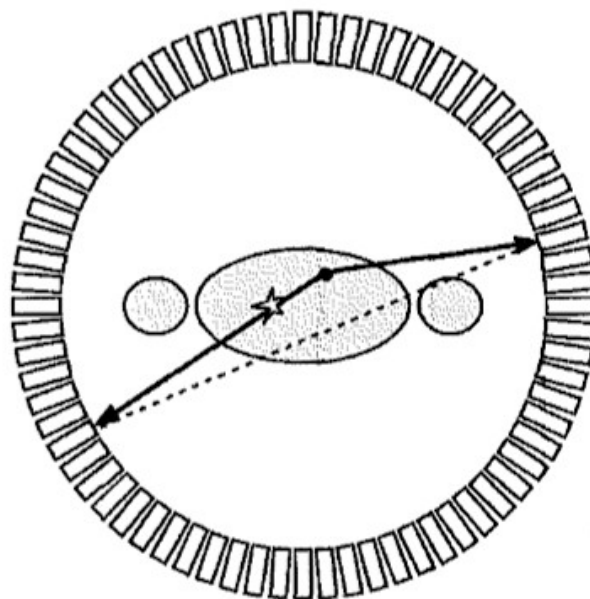
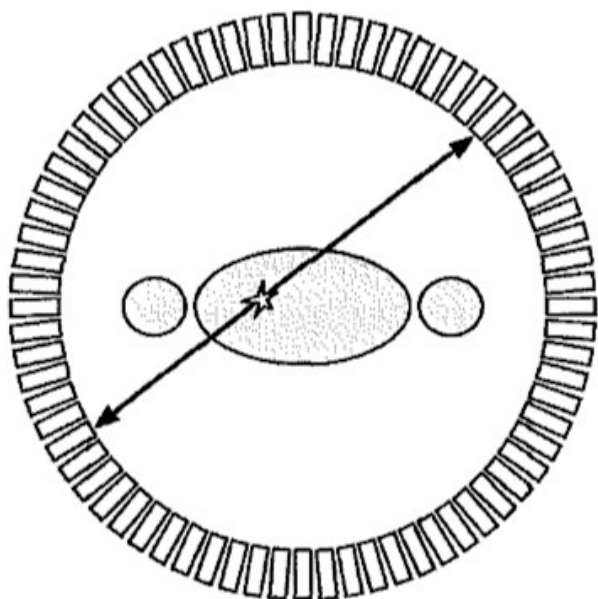
- koszt ~15mln zł
- szerokość 18cm
  - 18 pomiarów na całe ciało w krokach po 9 cm

# Kryształy vs plastik

dobrze zdarzenie

rozproszenie

zdarzenie przypadkowe



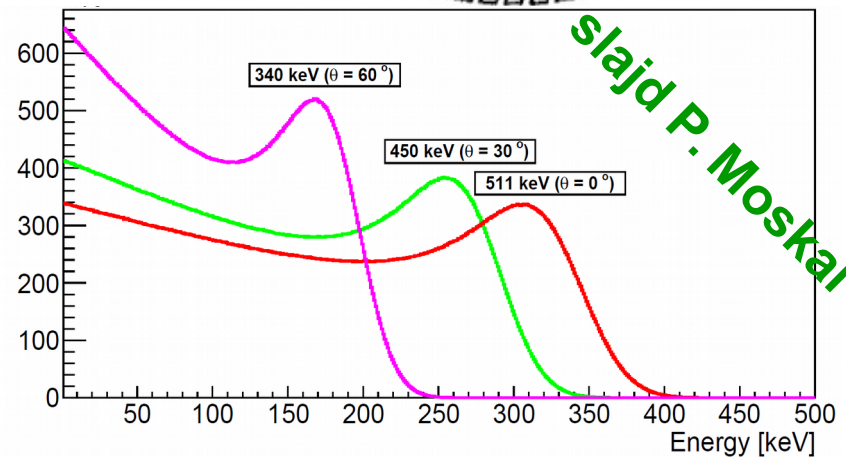
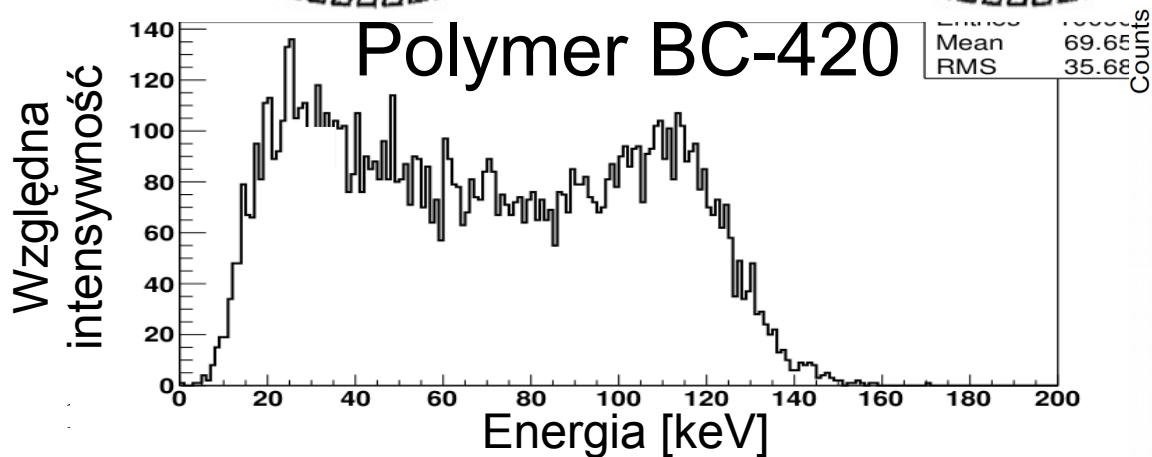
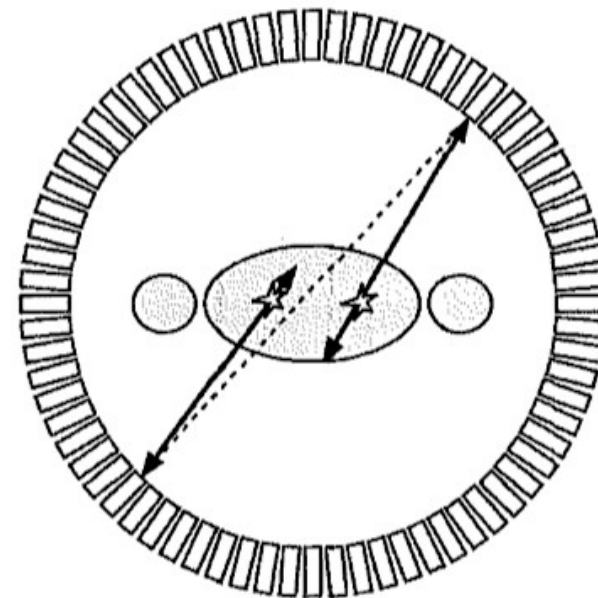
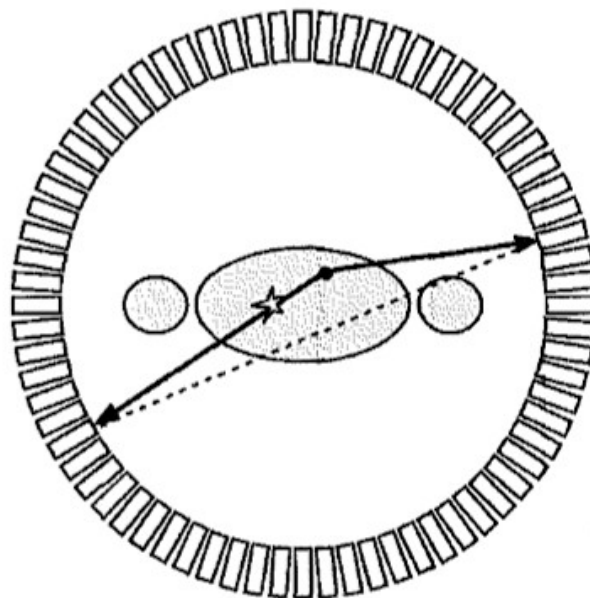
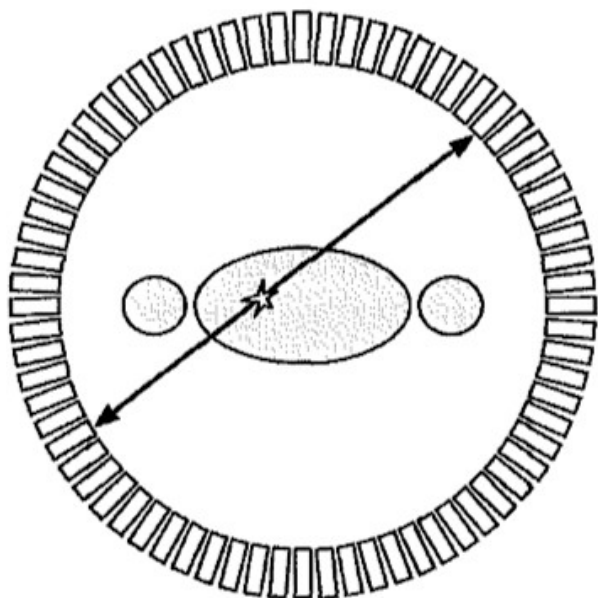


# Kryształy vs plastik

dobrze zdarzenie

rozproszenie

zdarzenie przypadkowe





# Kryształy vs plastik

| - - - kryształy - - - - | = = = = plastik = = = = |

Typ: LSO / LYSO / BGO / scyntylator polimerowy

Cena za cm<sup>3</sup>: 86 / 86 / 35 / 1

PHILIPS → LYSO

SIMENS → LSO

GE Healthcare → BGO

Scyntylatory polimerowe mogą być łatwo produkowane w dużych rozmiarach i w różnych kształtach.

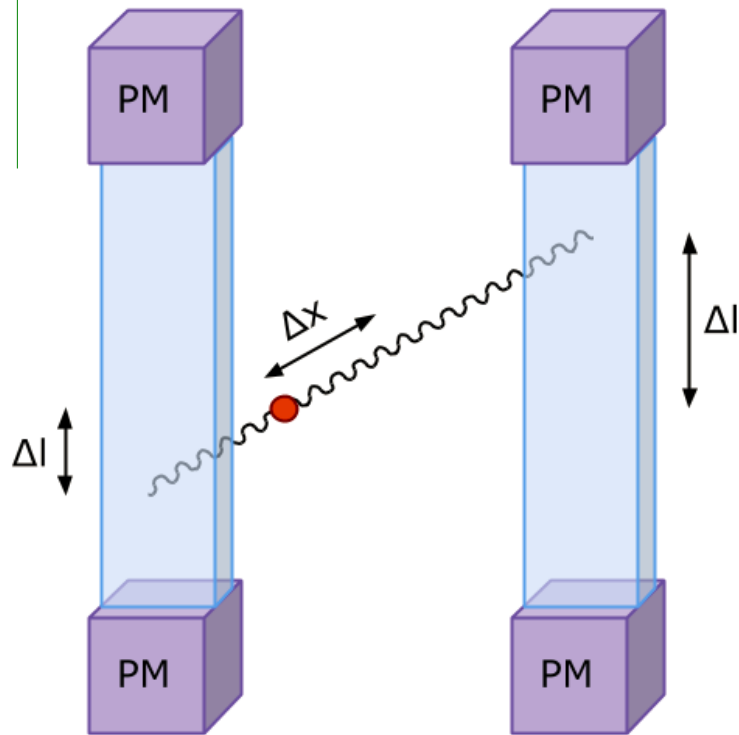
# Kryształy vs plastik

Dla warstwy 2.5 cm wydajność na rejestrację zdarzeń użytych do rekonstrukcji obrazu dla scyntylatora polimerowego jest około 20 razy mniejsza niż w przypadku kryształów BGO oraz około 40 razy mniejsza w stosunku do kryształów LSO.

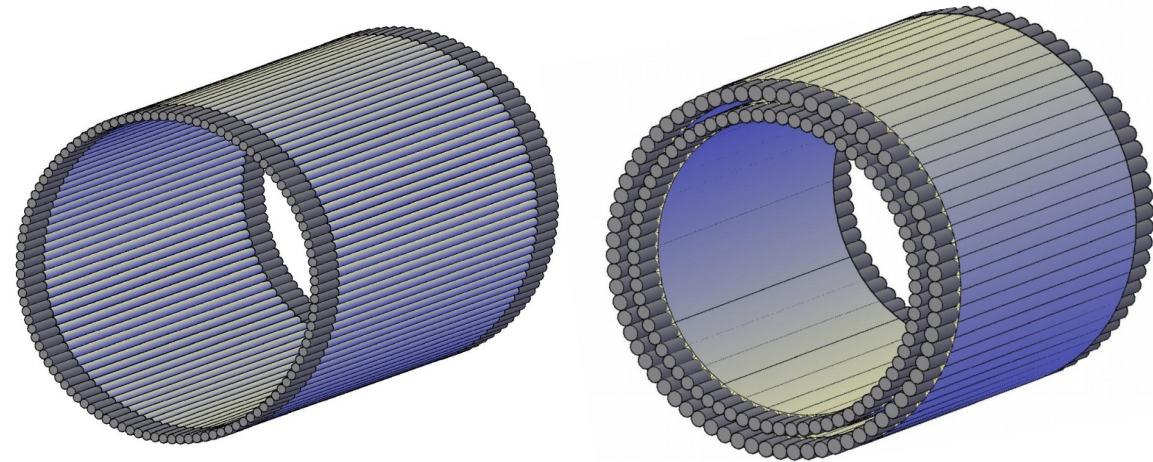
Sygnały świetlne ze scyntylatorów polimerowych są znacznie szybsze.

name	type	density [g/cm <sup>3</sup> ]	decay time [ns]	photons/MeV	mean free path [cm]
BGO	crystal	7.13	300	6000	1.04
GSO	crystal	6.71	50	10000	1.49
LSO	crystal	7.40	40	29000	1.15
NE102A	polymer	1.032	2.4	10000	10.2
BC404	polymer	1.032	1.8	10000	10.2
RP422	polymer	1.032	1.6	10000	10.2

# J-PET (Jagiellonian PET)



$$\Delta x = (t_l - t_r) c / 2$$
$$\Delta l = (t_2 - t_1) v / 2$$



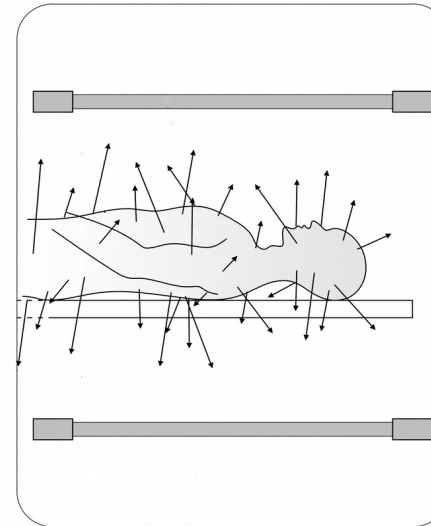
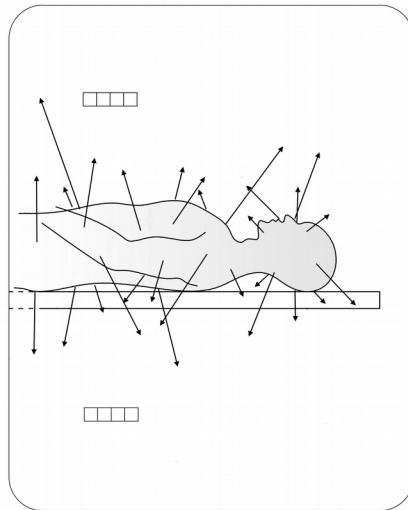
P. Moskal, Strip device and the method for the determination of the place and response time of the gamma quanta and the application of the device for the Positron Emission Tomography P 388 555 [WIPO ST 10/C PL388555] (2009), PCT/PL2010/00062 (2010), WO2011008119, US2012112079, JP2012533734, EP2454612.

P. Moskal et al., Nucl. Inst. and Meth. A 764 (2014) 317-321

P. Moskal et al., Nucl. Inst. and Meth. A 775 (2015) 54-62

P. Moskal et al., Phys. Med. Biol. 61 (2016) 2025-2047

# Standardowy PET a J-PET

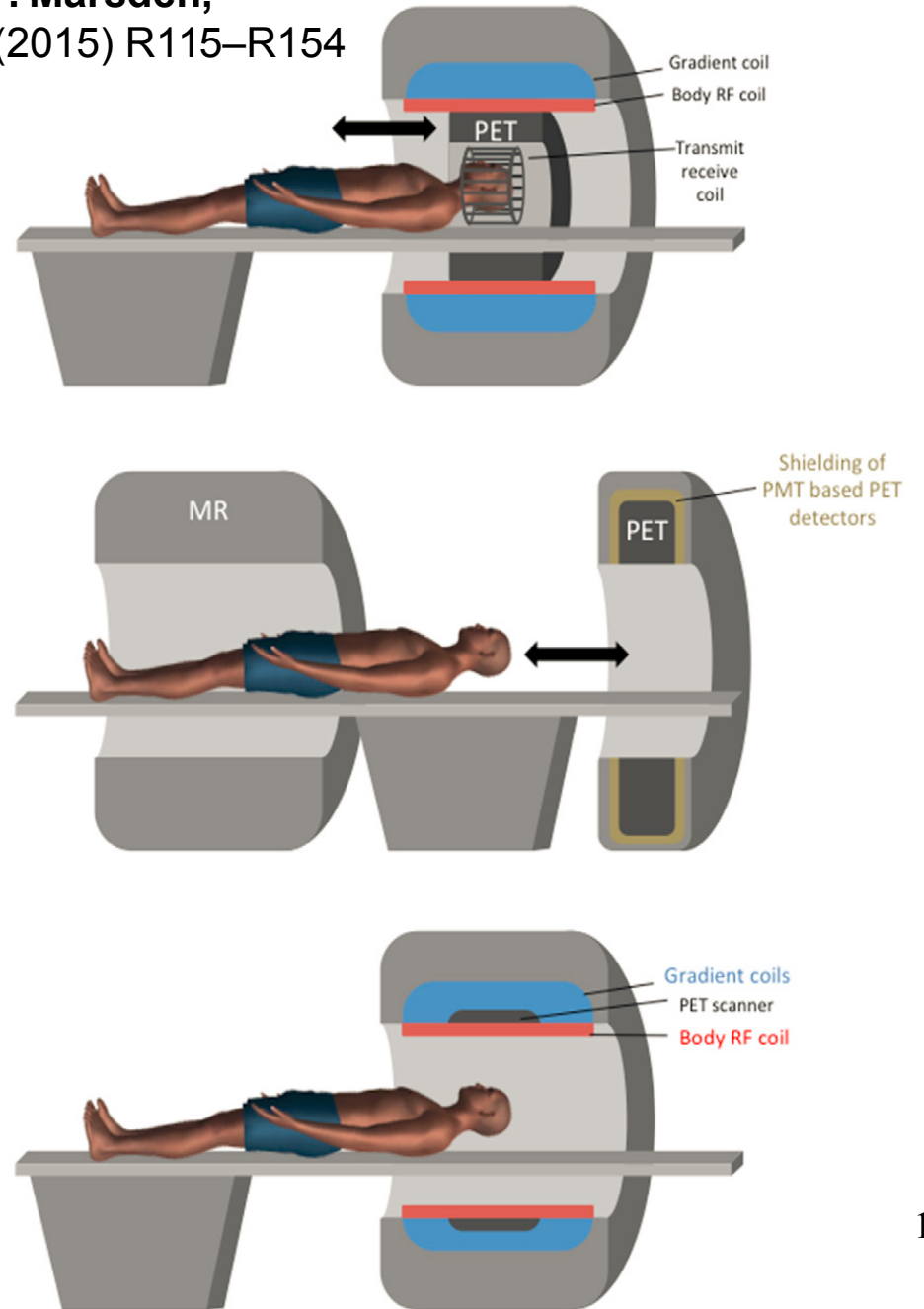


kryształy  
energia  
wysoka granulacja  
wysoka wydajność  
efekt fotoelektryczny  
niska akceptancja  
elektronika analogowa

- polimery
- czas
- duże bloki
- niska wydajność
- efekt Comptona
- wysoka akceptancja
- elektronika cyfrowa
- możliwość jednoczesnego PET i MRI
- możliwość jednoczesnego PET i CT
- tańszy

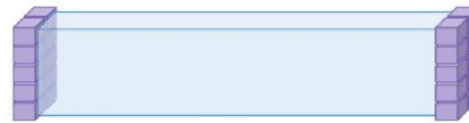
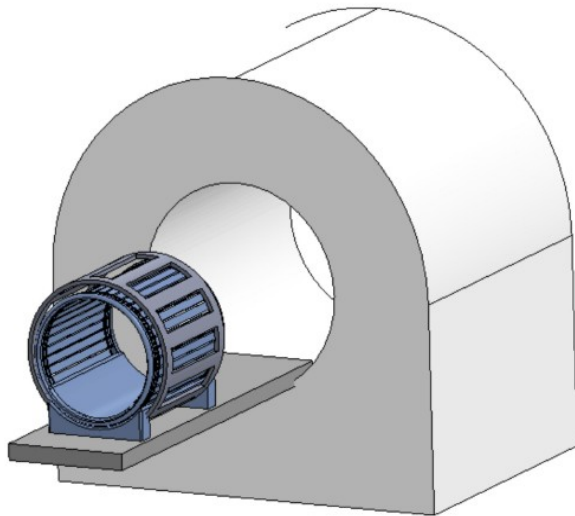
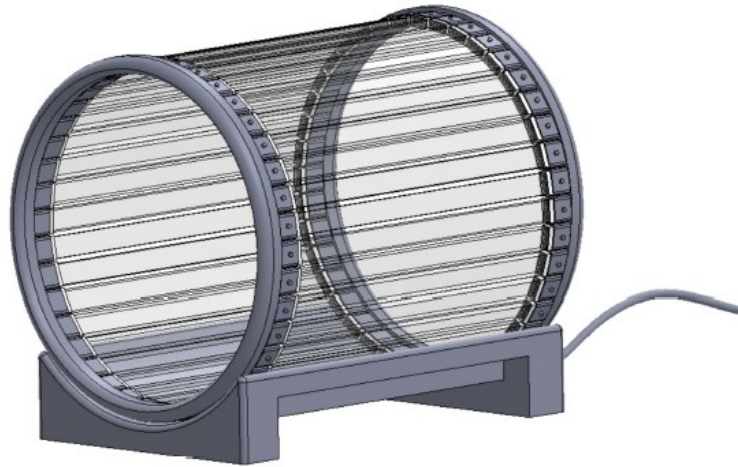
# PET/MRI

S. Vandenberghe, P. Marsden,  
Phys. Med. Biol. **60** (2015) R115–R154





# J-PET dalsze możliwości



J-PET/CT:

P. Moskal, PCT/EP2014/068363 (2013)

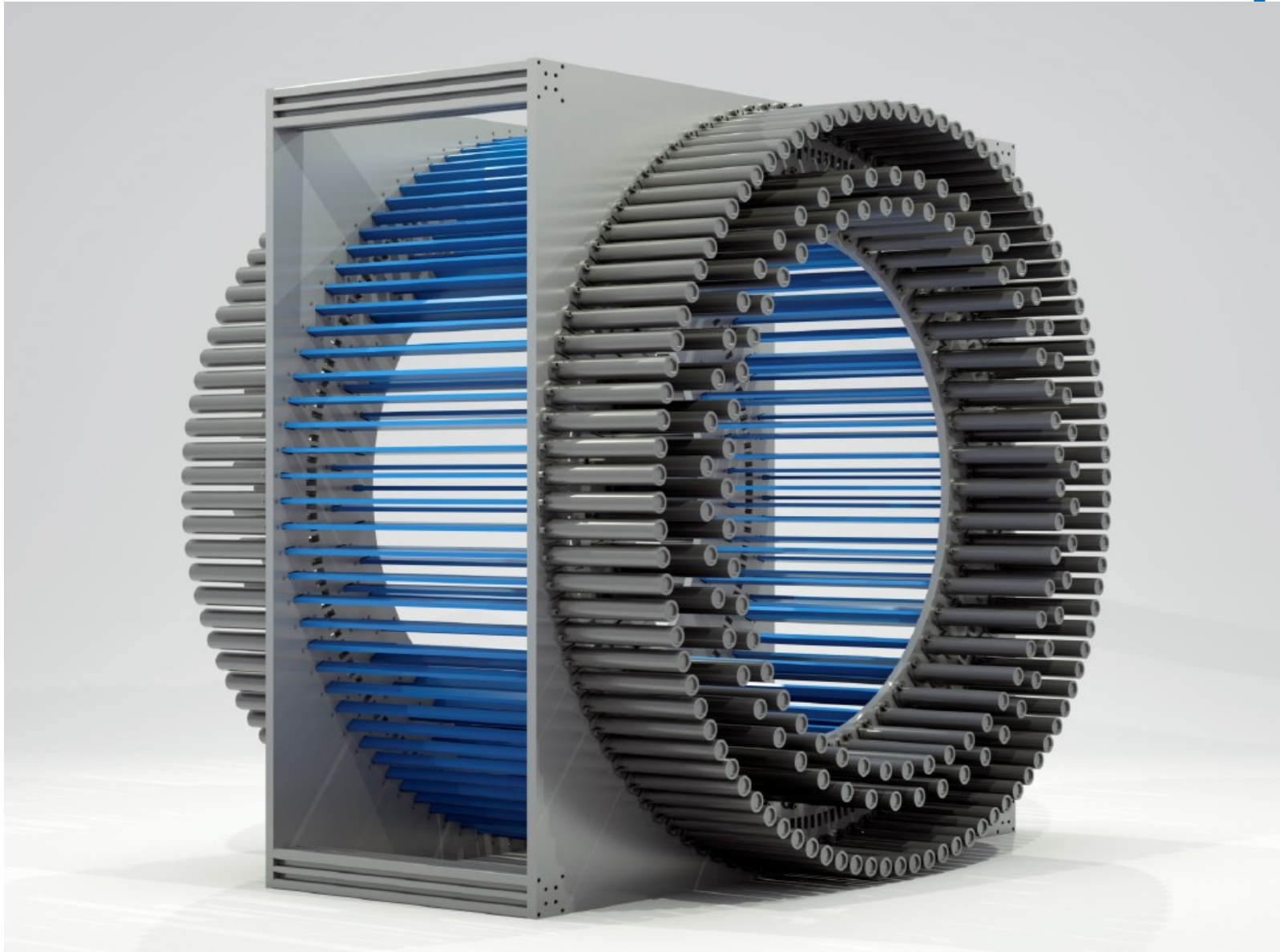
J-PET/MRI:

P. Moskal, PCT/EP2014/068373 (2013)

J-PET/MRI insert:

B. Głowacz, P. Moskal, M. Zieliński, P 413150 (2015)

# J-PET wizualizacja

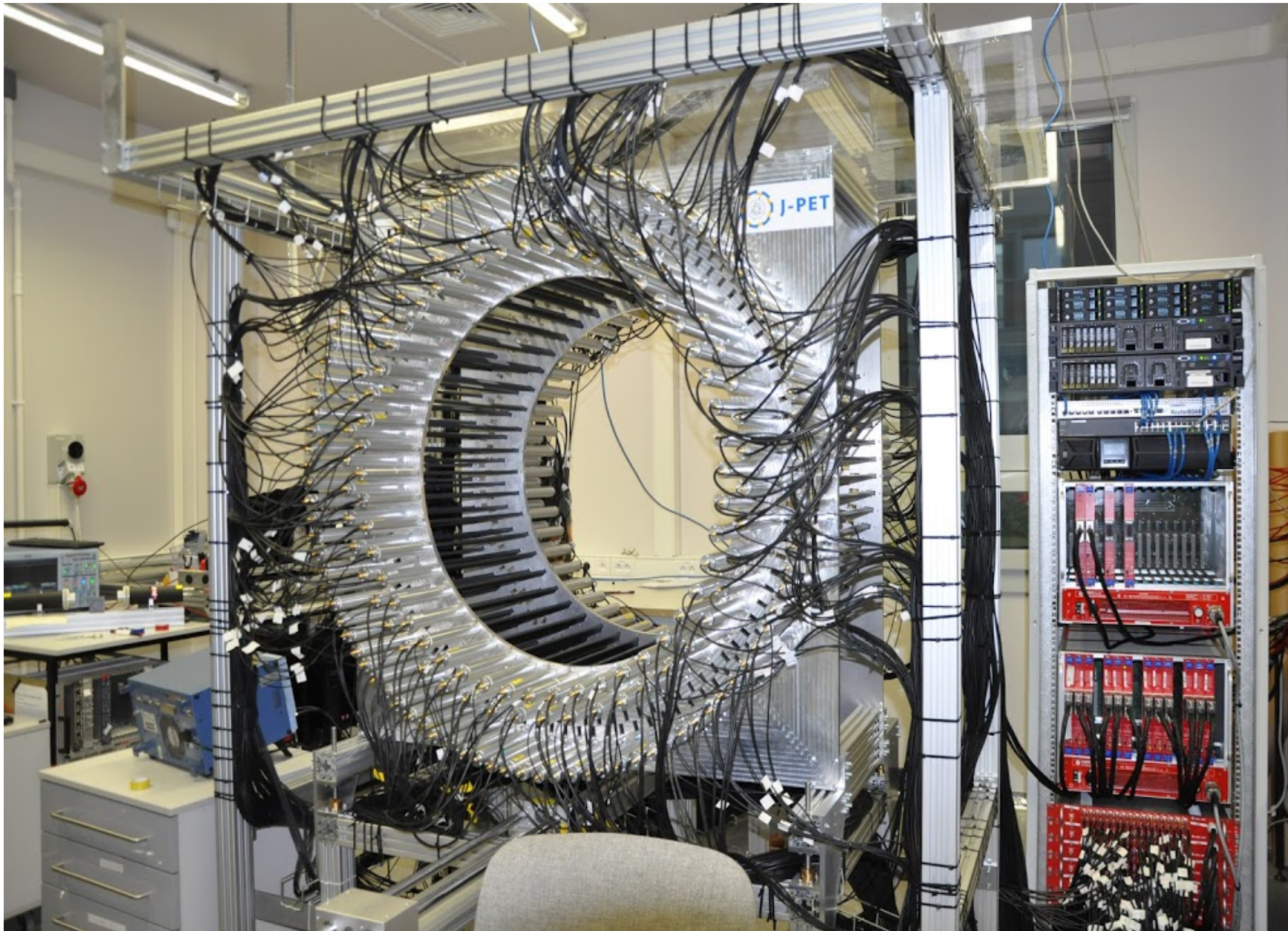




# Nowa siedziba WFAIS UJ







AFOV: 50cm

TOF < 500ps (FWHM)

$t_{\text{hit}}$ : 100ps (sigma)

# Projekt J-PET



Elektronika odczytu



Akwizycja danych



Rekonstrukcja czasu i miejsca uderzenia



Rekonstrukcja obrazu



Wizualizacja obrazu

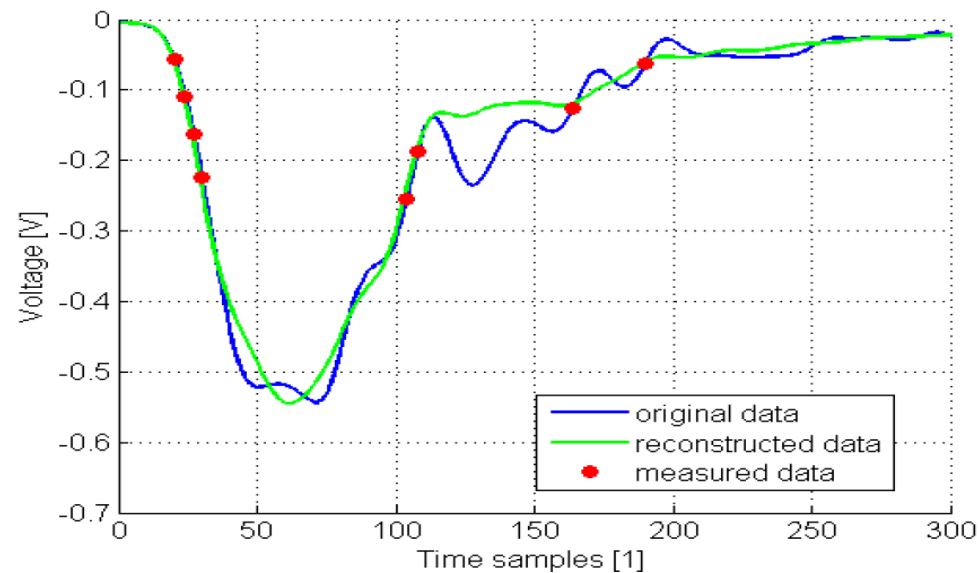
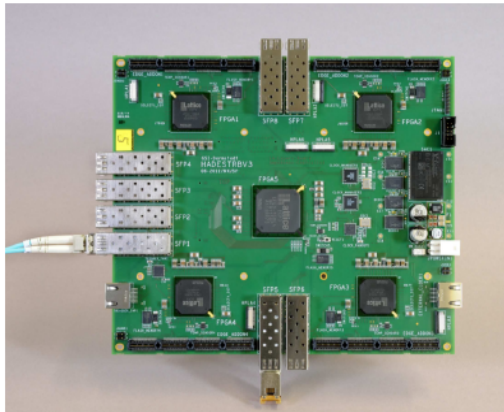
Symulacje komputerowe

Kalibracja detektora

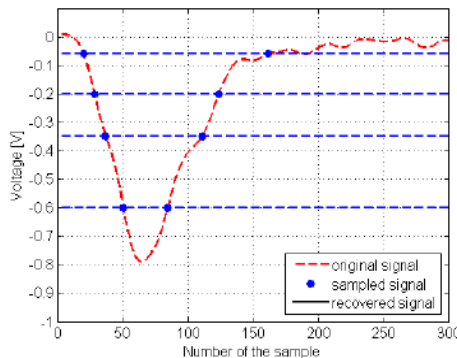


# J-PET

## Trigger Readout board

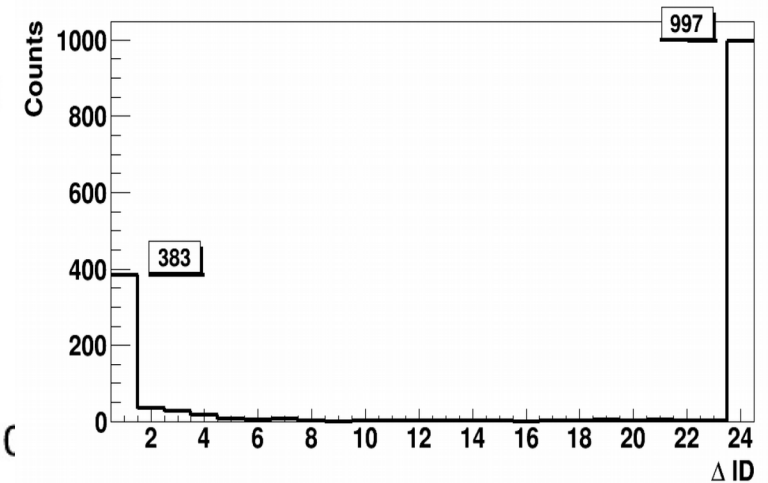
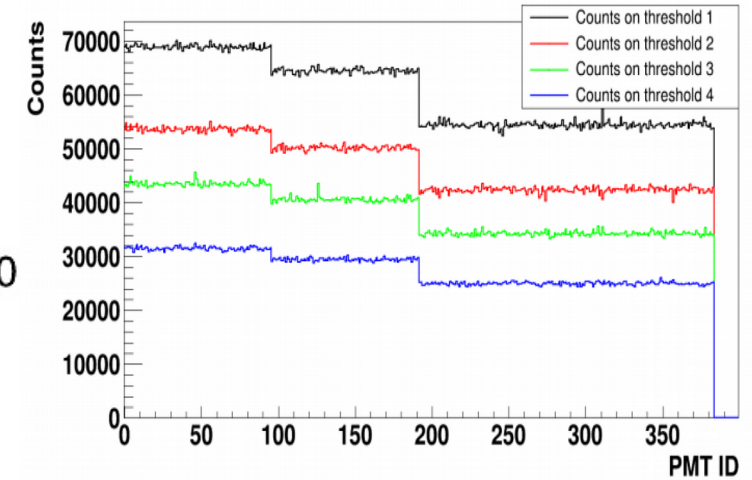
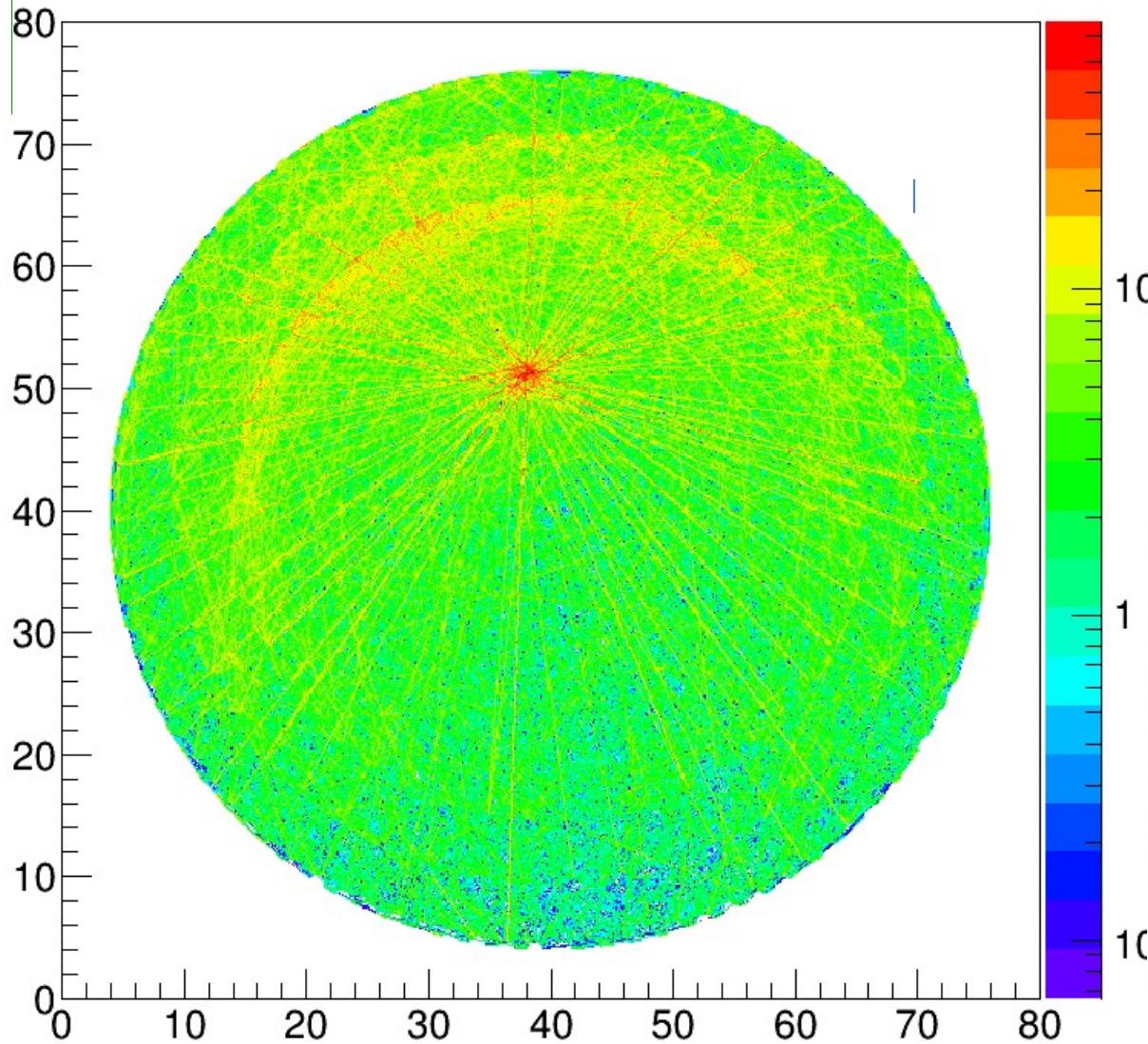


- Electronic board with 4 x configurable FPGA chips
  - FPGA - Silicon chip that can be used to implement any digital design
  - Can be used to probe fast signals (rising time of 1 ns)
  - Multi-threshold signal sampling designs
  - Excellent time measurement parameters (resolution  $\sigma \sim 20\text{ps}$ )
- Central FPGA
  - data collector
  - Gigabit ethernet Gateway
- Trigger less mode

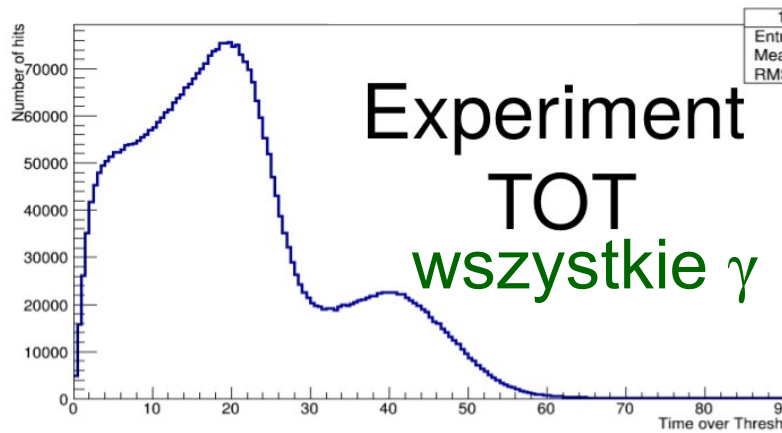
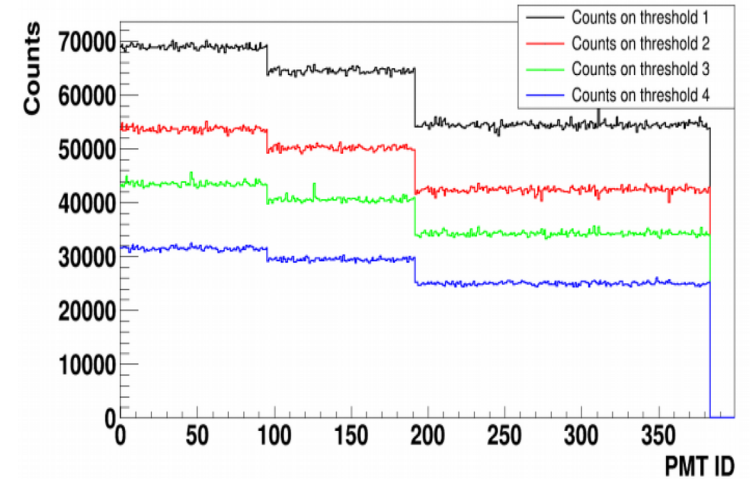
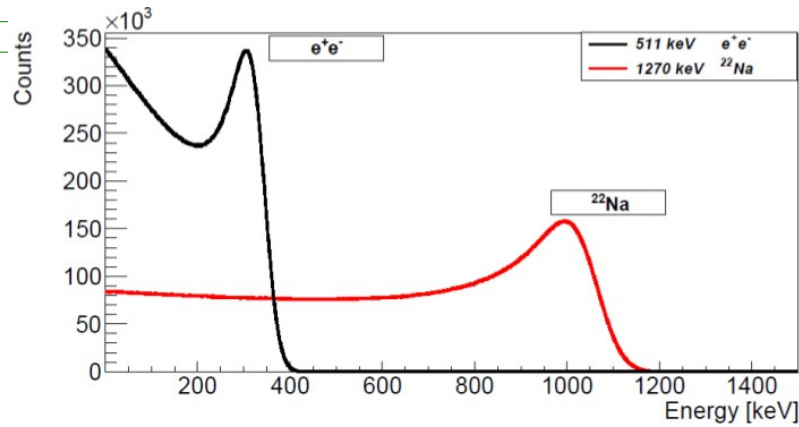


M. Pałka, P. Moskal, PCT/EP2014/068367  
G. Korcyl, P. Moskal, M. Kajetanowicz, M. Pałka, PCT/EP2014/068352  
G. Korcyl et al., Acta Phys. Polon. B 47, 492 (2016)  
M. Pałka et al., JINST, wysłane  
L. Raczyński et al., Nucl. Inst. and Meth. A764 (2014) 186  
L. Raczyński et al. Nucl. Inst. and Meth. A786 (2015) 105  
L. Raczyński et al., Phys. Med. Biol. (2017) w druku

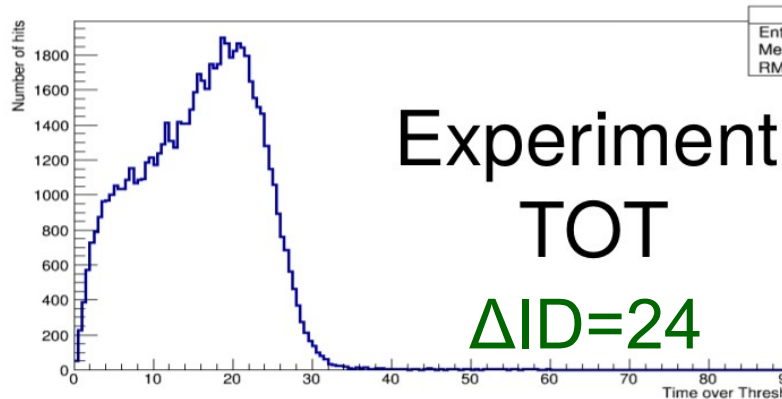
# J-PET w działaniu



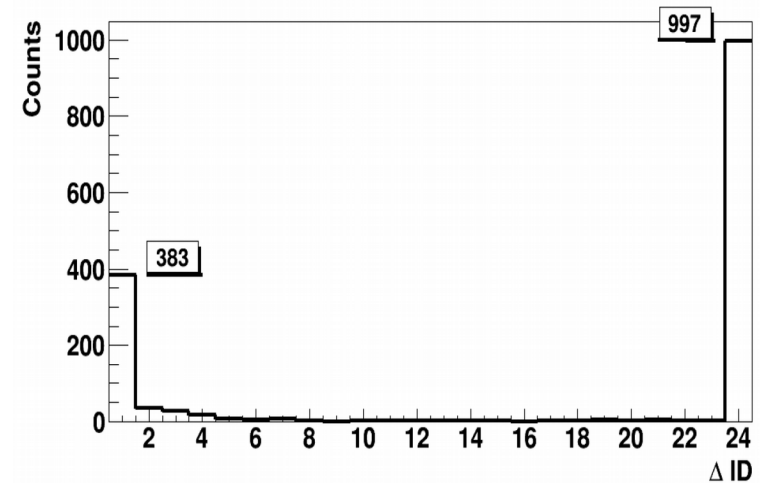
# J-PET w działaniu



Experiment  
TOT  
wszystkie  $\gamma$



Experiment  
TOT  
 $\Delta ID = 24$





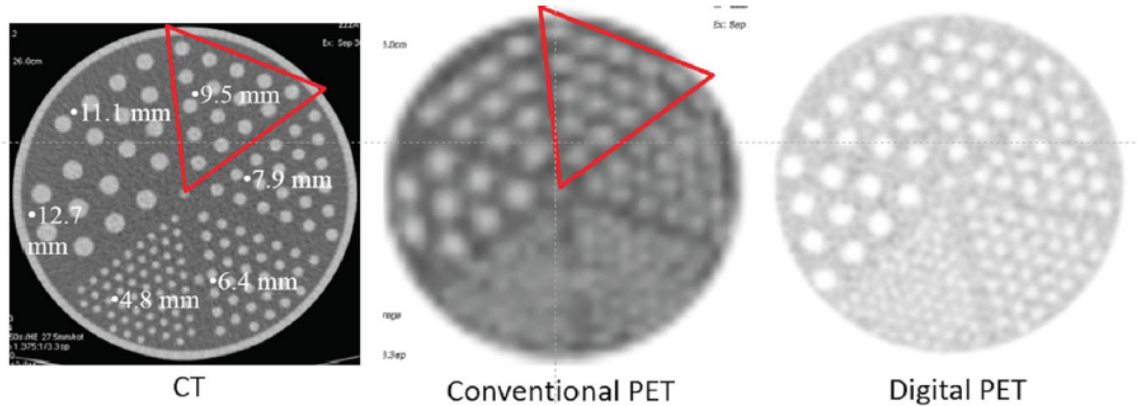
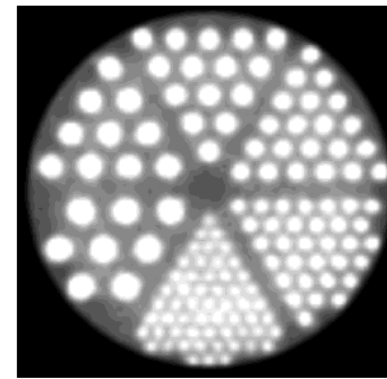
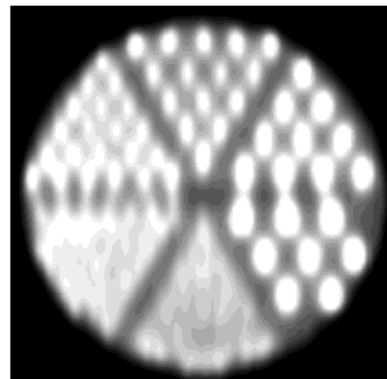
# Rekonstrukcja obrazu



J-PET: P. Bialas, J. Kowal, A. Strzelecki et al. Acta Phys. Pol. A127 (2015) 1500  
Adam Strzelecki, PhD thesis, 2016

384 strips, diameter 85 cm, 50 cm AFOV,  $10^8$  events, 50 iterations,

J-PET: image reconstructed from simulated data  
rotated (coronal)                      axially arranged



11.05.2017 **Figure from P. Slomka, T. Pan, G. Germano,**  
**Semin. Nucl. Med. 46 (2016) 46**

*Digital PET, courtesy of Jun Zhang (PhD),  
Michael V. Knopp (MD, PhD), The Ohio State  
University*

# Pozytonium (Ps)

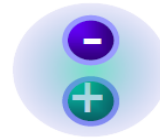
1. Stan związany  $e^+e^-$
2. Stan własny Hamiltonianu i operatorów P, C, CP
3. Najlżejszy znany atom i anty-atom, który ulega anihilacji
4. Elektrony i pozytrony są najlżejszymi leptonami  
- brak możliwości rozpadu na lżejsze cząstki przez oddziaływanie słabe
5. Brak cząstek naładowanych w stanie końcowym  
- małe poprawki radiacyjne  $2 \cdot 10^{-10}$
6. Do tej pory brak obserwacji łamania symetrii dyskretnych w układach leptonowych

Model Standardowy  $10^{-9}$  - górne ograniczenia  $3 \cdot 10^{-3}$  dla T, CP, CPT



# Pozytonium (Ps)

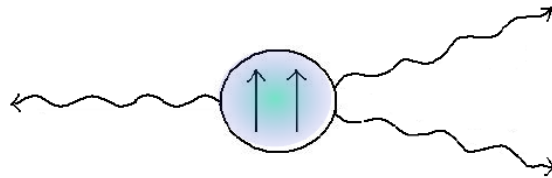
slajd P. Moskal



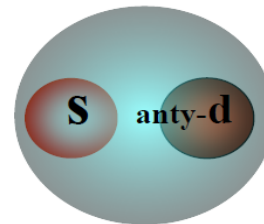
POSITRONIUM



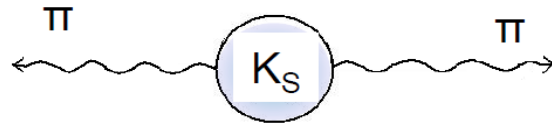
CP = + Para-positronium  $\tau(p\text{-Ps}) \approx 125 \text{ ps}$



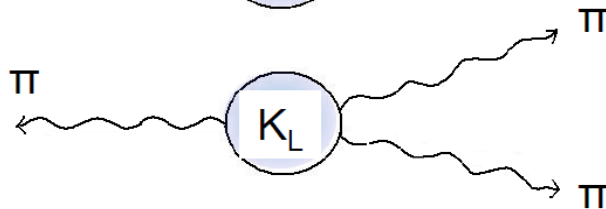
CP = - Ortho-positronium  $\tau(o\text{-Ps}) \approx 142 \text{ ns}$



MESON K



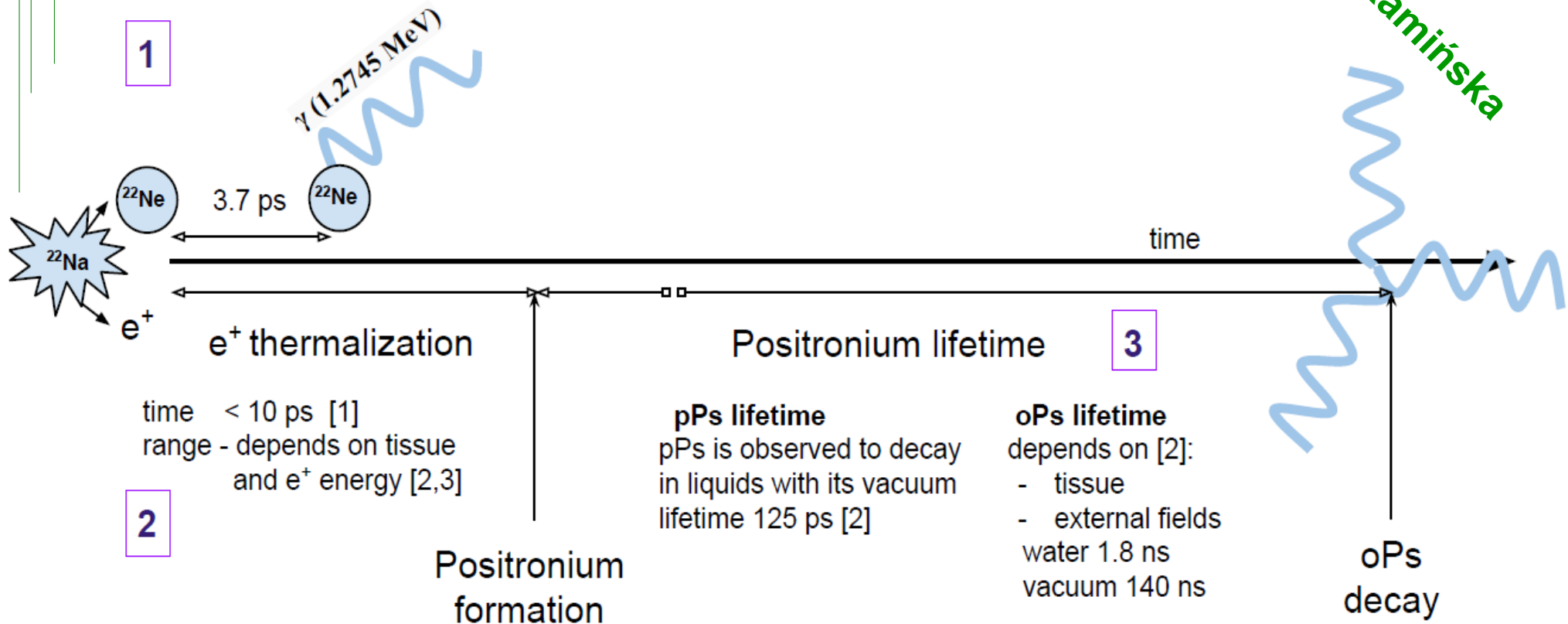
CP  $\approx$  +  $\tau(K_S) \approx 90 \text{ ps}$



CP  $\approx$  -  $\tau(K_L) \approx 52 \text{ ns}$

# Pozytonium (Ps)

slajd D. Kamińska

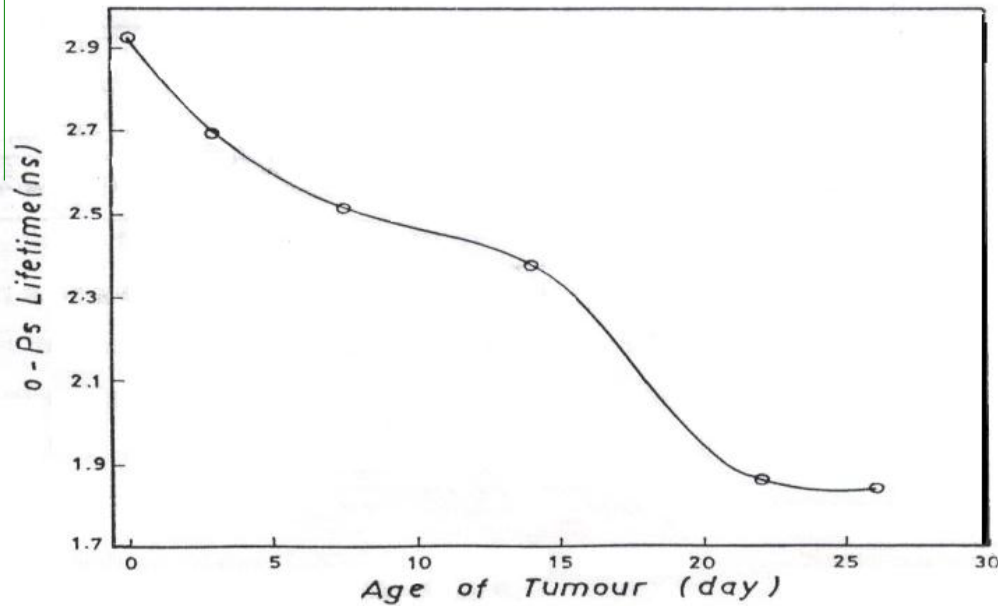


[1] P. Kubica and A. T. Stewart, Phys. Rev. Lett. 34 (1975) 852

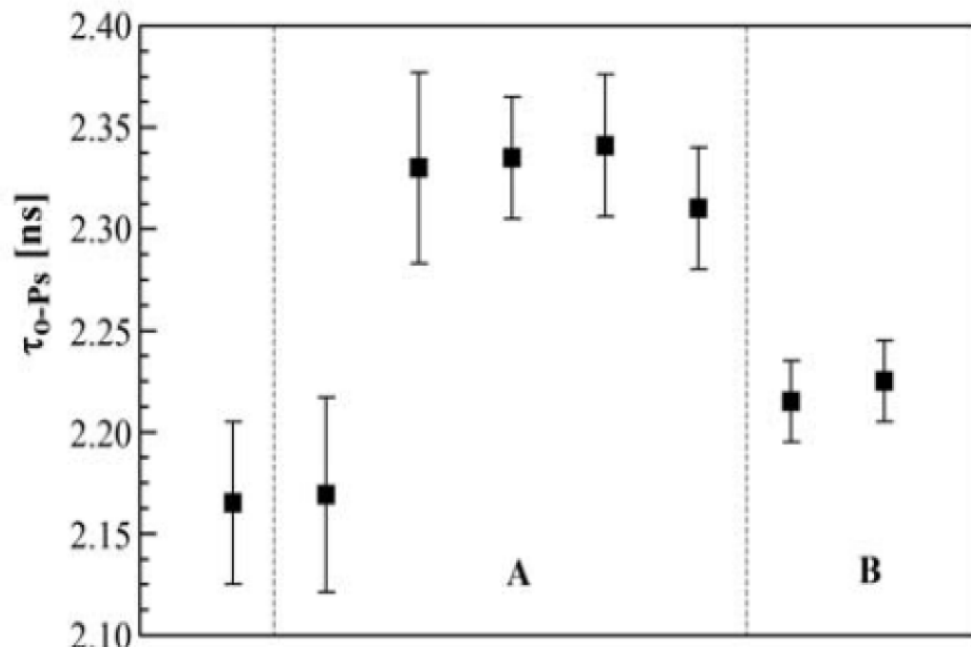
[2] M. Harpen Med.Phys. 31 (2004) 57-61

[3] J Cal-Gonzalez et al, Phys. Med. Biol. 58 (2013) 5127–5152

# Pozytonium w medium



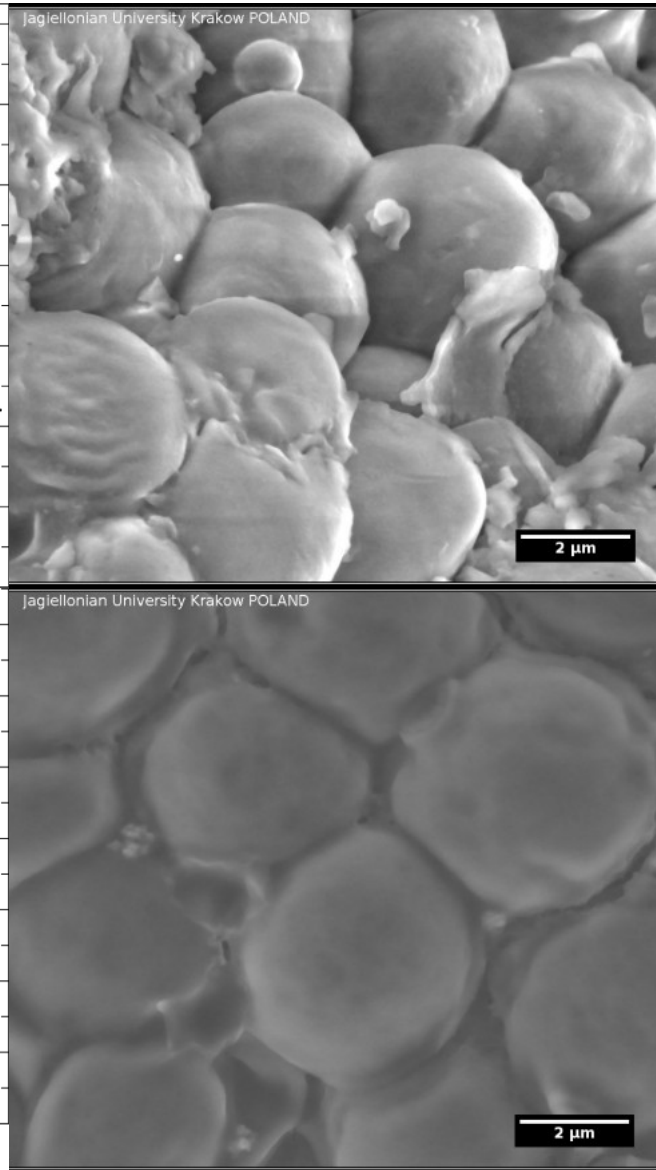
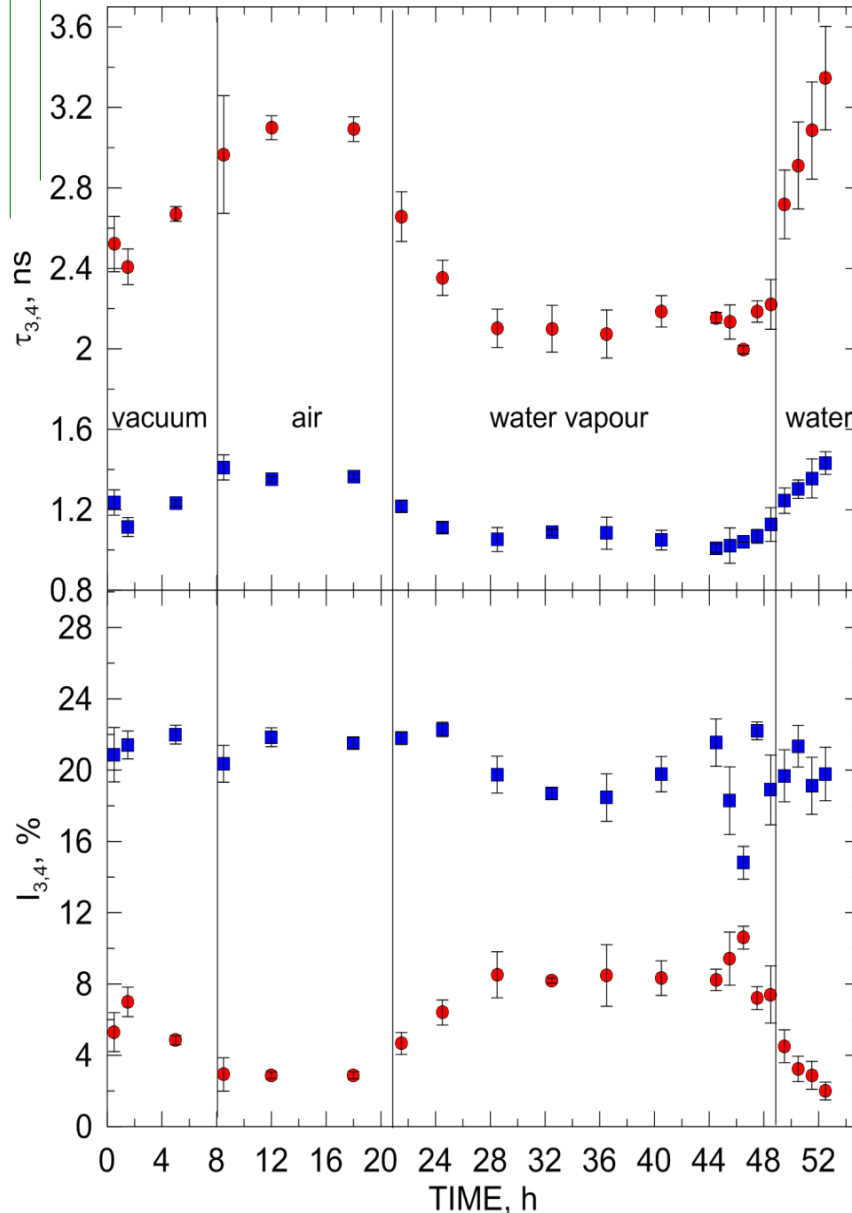
The age of mice's tumour with o-Ps lifetime  
A.H. Al-Mashhadani et al.,  
Iraqi J. Sci. 42C, 60 (2001) 3.



R. Pietrzak et al., NUKLEONIKA 58 (2013) 199



# J-PET a pozytonium



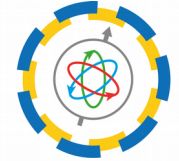
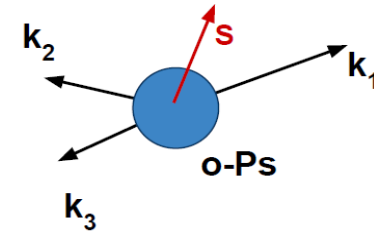
**J-PET:**  
**E. Kubicz,**  
**B. Jasińska et al.,**  
**Nukleonika 60 (2015)749**  
Studies of unicellular  
micro-organisms  
*Saccharomyces*  
*cerevisiae*  
by means of positron  
annihilation lifetime  
spectroscopy

**Environmental Scanning Electron Microscopy images of lyophilised yeasts (upper) and dried under normal conditions, after addition of water (bottom).**

# o-Ps

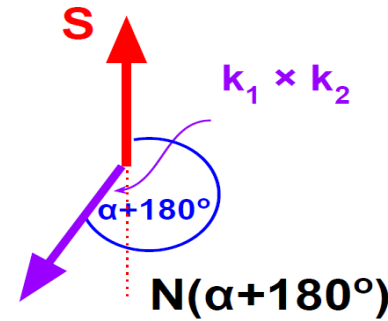
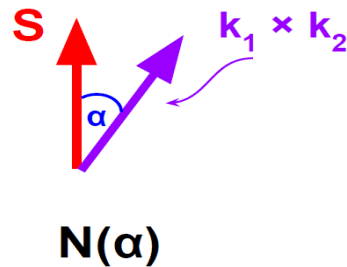
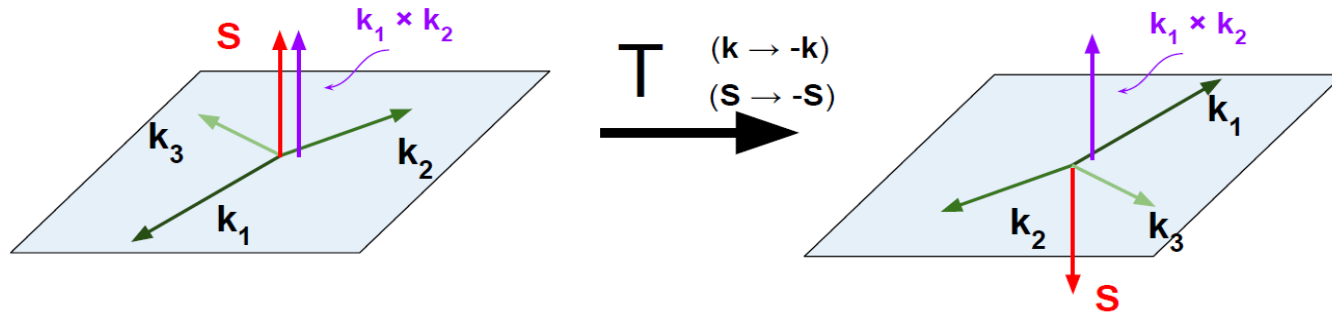
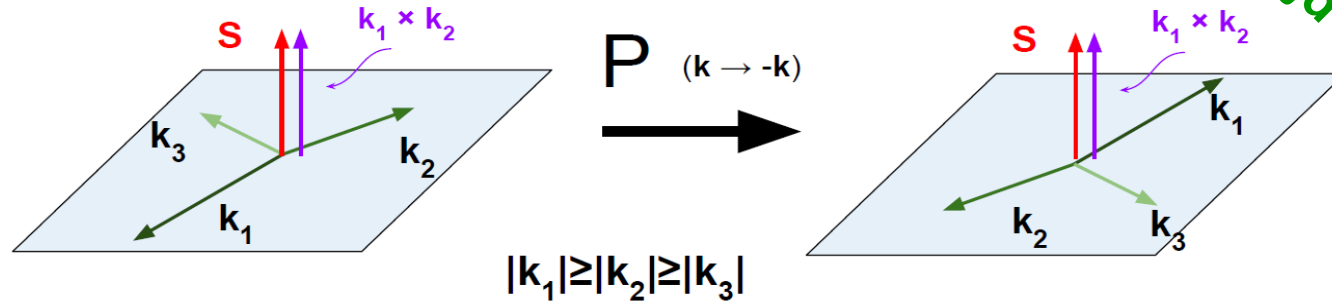
o-Ps operator example:  $\vec{S} \cdot \hat{k}_1 \times \hat{k}_2$

Operator	C	P	T	CP	CPT
$\vec{S} \cdot \hat{k}_1 \times \hat{k}_2$	+	+	-	+	-



J-PET

slajd D. Kamińska



$$N(\alpha) = N(\alpha + 180^\circ)$$

CPT symmetry is conserved

$$N(\alpha) \neq N(\alpha + 180^\circ)$$

CPT symmetry is violated

# o-Ps @ J-PET



Operator	C	P	T	CP	CPT
$\vec{S} \cdot \hat{k}_1 \times \hat{k}_2$	+	+	-	+	-
$(\hat{S} \cdot \hat{k}_1)(\hat{S} \cdot \hat{k}_1 \times \hat{k}_2)$	+	-	-	-	+

$$C_{CP} = 0.0013 \pm 0.0022$$

(T. Yamazaki et al., Phys. Rev. Lett. 104 (2010) 083401)

$$C_{CPT} = 0.0071 \pm 0.0062$$

(P.A. Vetter et al., Phys. Rev. Lett. 91 (2003) 263401)

SM:  $10^{-9} - 10^{-10}$   
effects of final state interaction

(W. Bernreuther et al., Z. Phys. C 41 (1988) 143)

Operator	C	P	T	CP	CPT
$\vec{S} \cdot \vec{k}_1$	+	-	+	-	-
$\vec{S} \cdot (\vec{k}_1 \times \vec{k}_2)$	+	+	-	+	-
$(\vec{S} \cdot \vec{k}_1)(\vec{S} \cdot (\vec{k}_1 \times \vec{k}_2))$	+	-	-	-	+
$\vec{k}_1 \cdot \vec{\epsilon}_2$	+	-	-	-	+
$\vec{S} \cdot \vec{\epsilon}_1$	+	+	-	+	-
$\vec{S} \cdot (\vec{k}_2 \times \vec{\epsilon}_1)$	+	-	+	-	-

# J-PET a inne eksperymenty



	J-PET	CP-Tokyo	Gammasphere
Detector material	BC-420	LYSO	HPGe and BGO
Time resolution	80 ps	0.9 ns	4.6 ns
Angular resolution (polar/azimuthal)	1.4°/0.5°	3.5°/3.5°	4°/4°
Source activity	10 MBq	0.04 MBq (limited by pile-ups)	1 MBq (limited by pile-ups)

reconstruction efficiency (including registration of deexcitation  $\gamma$ )

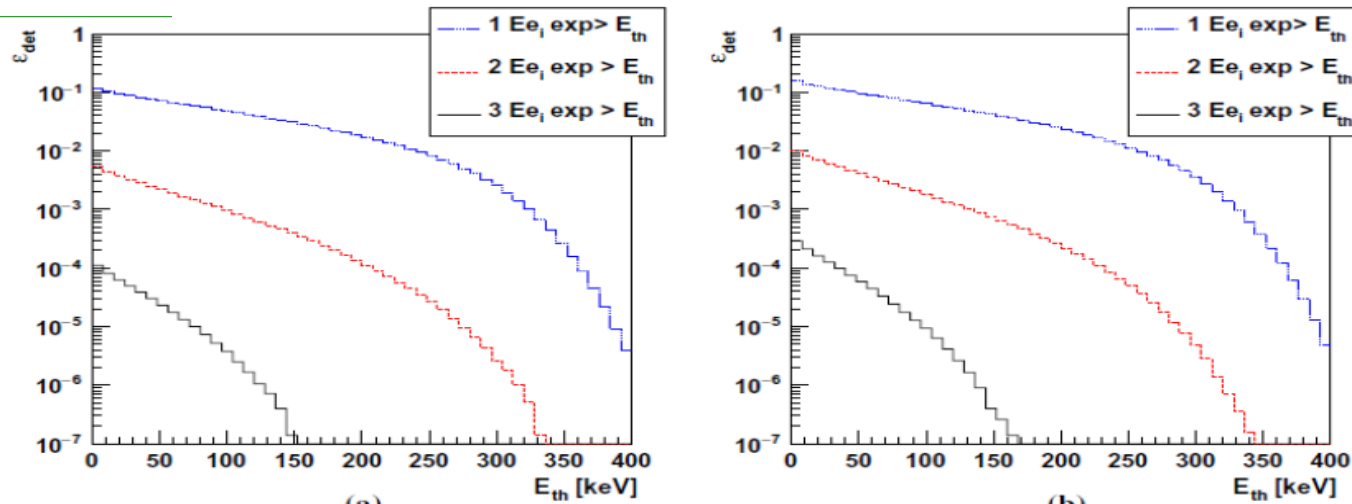
$o\text{-Ps} \rightarrow 3\gamma$	$6 \cdot 10^{-6}$	-	$5.7 \cdot 10^{-3}$
$o\text{-Ps} \rightarrow \gamma\gamma\gamma_n^1$	$3 \cdot 10^{-4}$	$4 \cdot 10^{-4}$	-

Registered events (length of measurement in days)

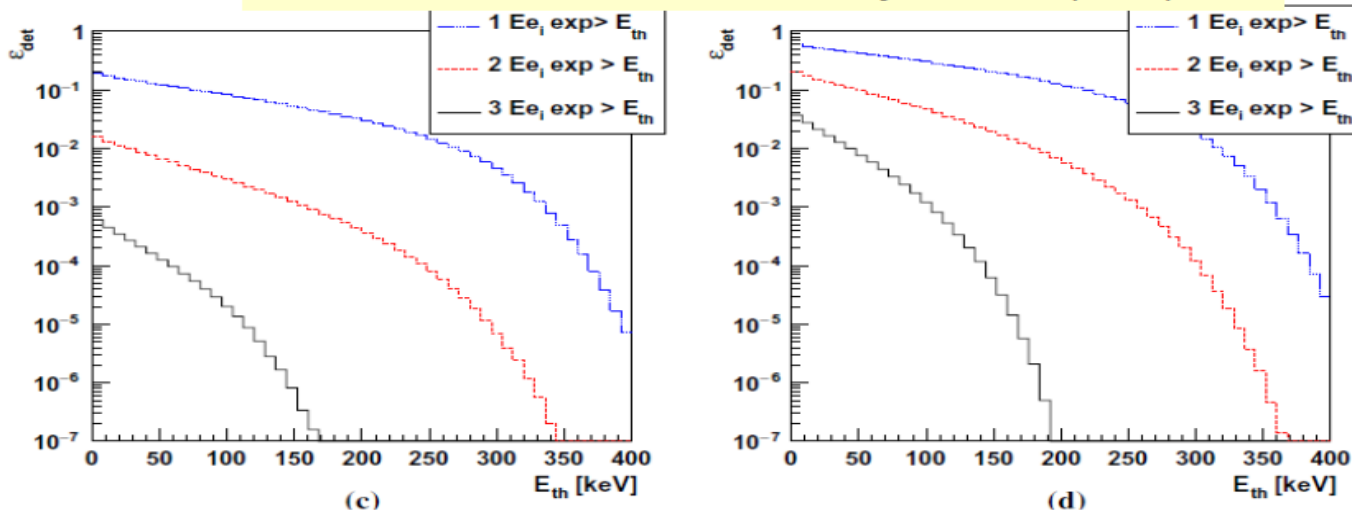
$o\text{-Ps} \rightarrow 3\gamma$	$1.4 \cdot 10^9$ (270)	-	$2.65 \cdot 10^7$ ( $\sim 36$ )
$o\text{-Ps} \rightarrow \gamma\gamma\gamma_n$	$6.8 \cdot 10^{10}$ (270)	$\sim 10^7$ ( $\sim 180$ )	-



# Wydajność rejestracji o-Ps

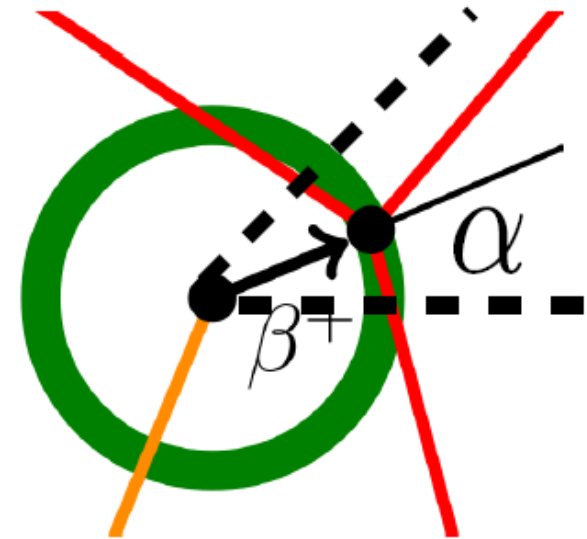
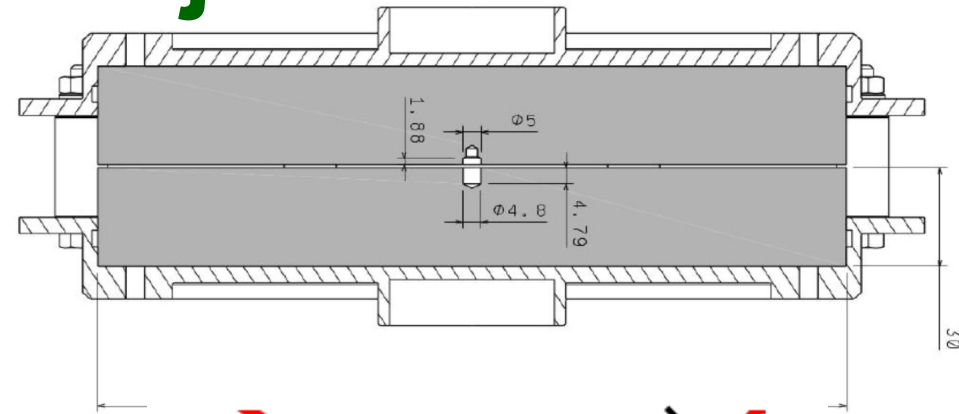
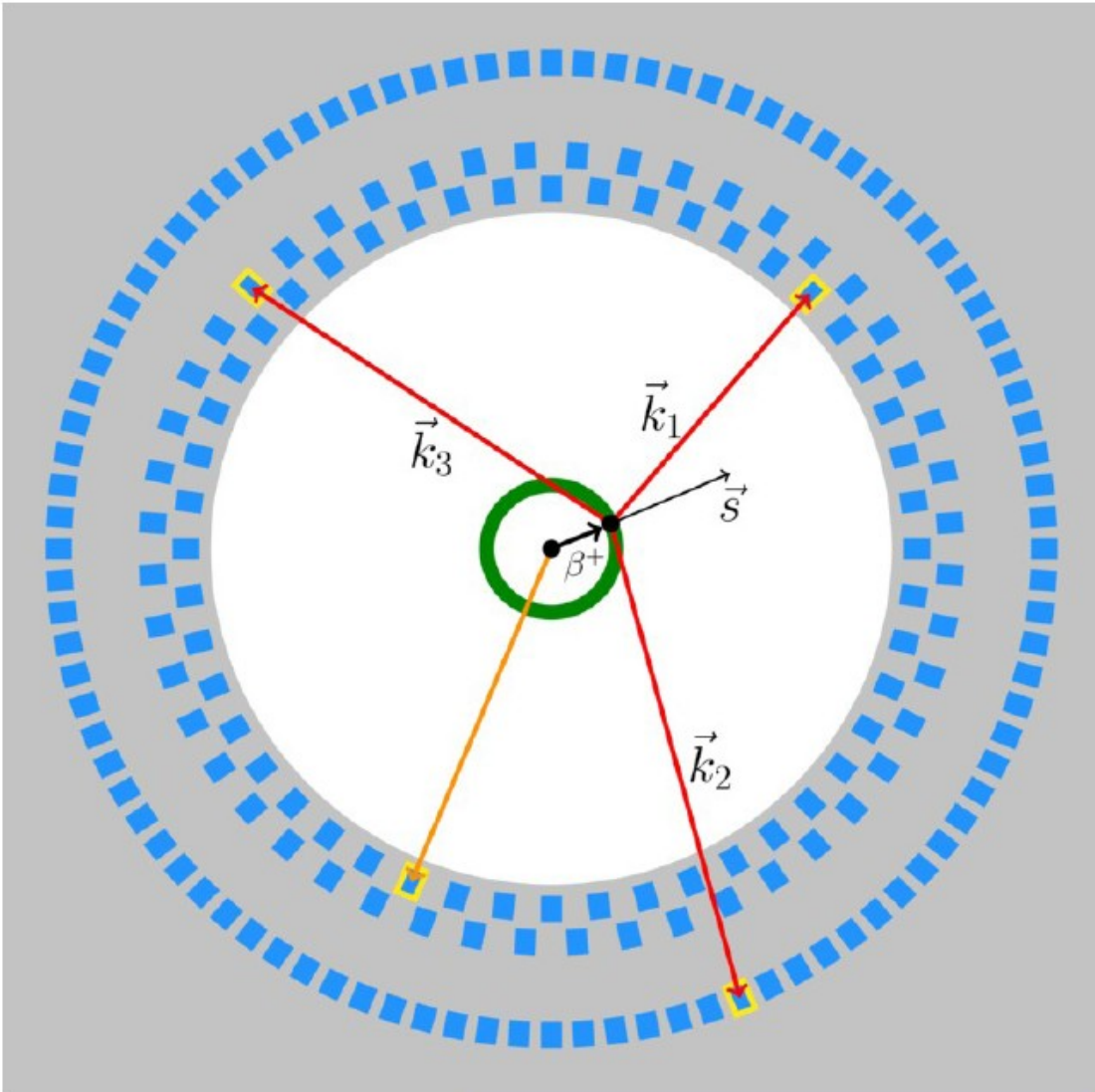


J-PET: D. Kamińska et al., Eur. Phys. J. C76 (2016) 445



Target material	Rate of registered o-Ps $\rightarrow$ $3\gamma$ events ( $s^{-1}$ )			
	J-PET	J-PET+1	J-PET+2	J-PET-full
IC3100	15	70	130	10600
XAD-4	25	115	230	18300

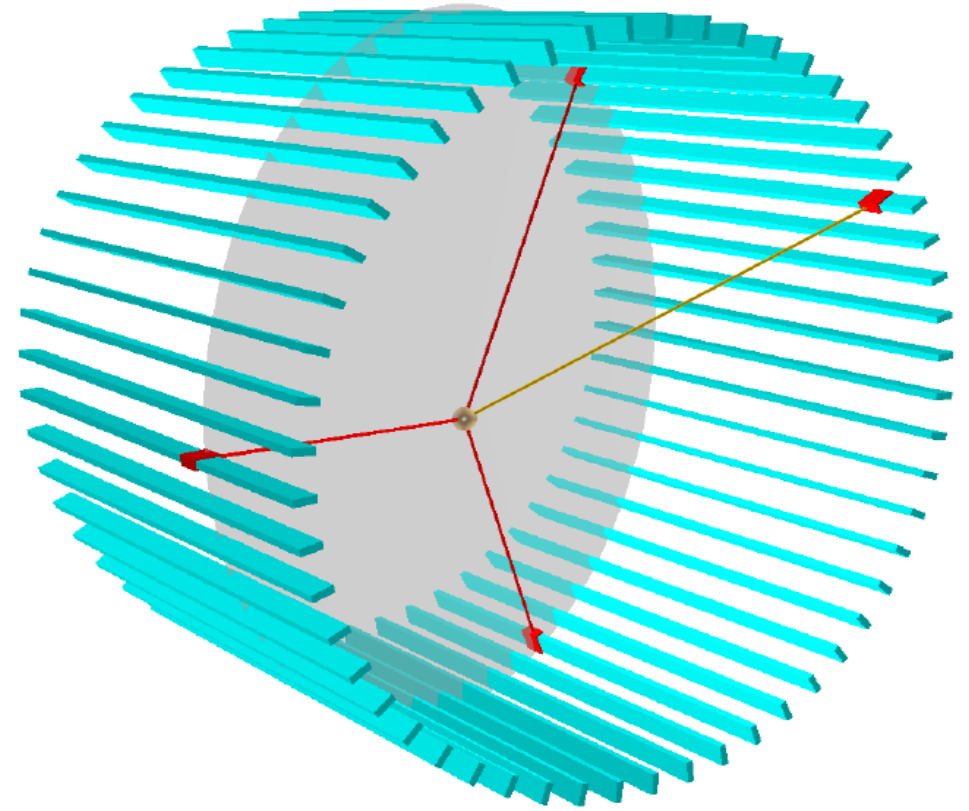
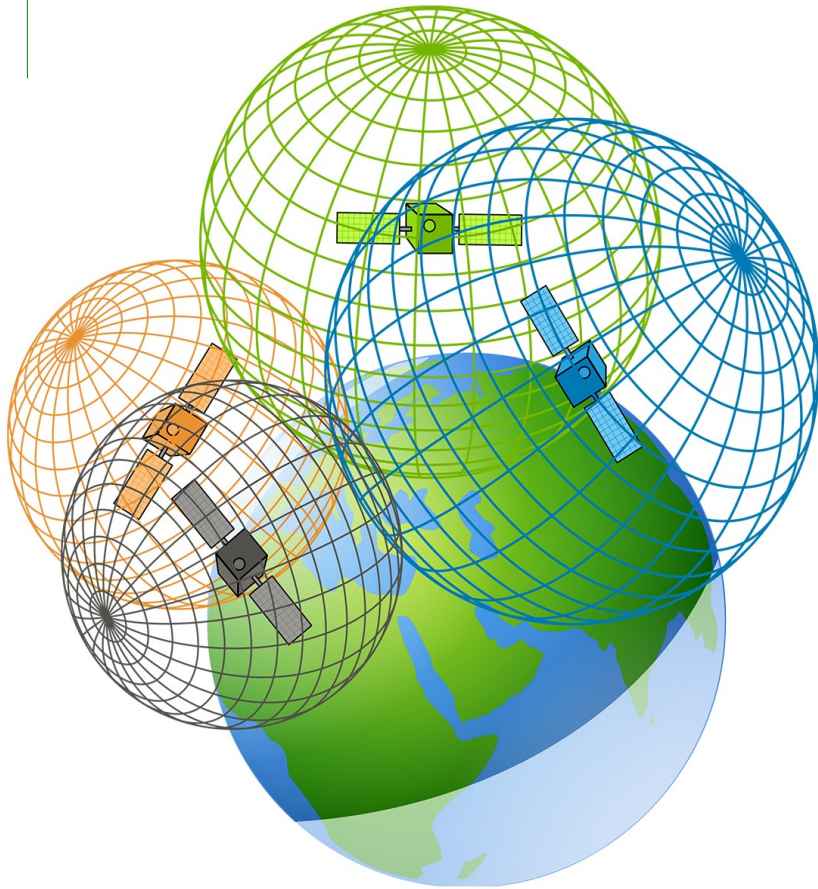
# Wyznaczenie polaryzacji e+



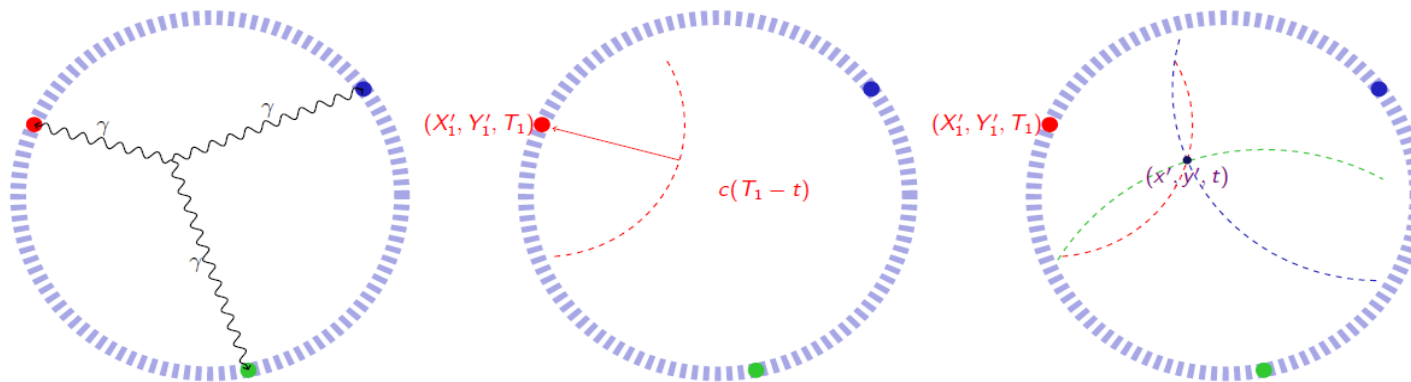
$$P = \frac{v}{c}(1 + \cos\alpha)/2$$

$$\approx 98\%$$

# GPS @ J-PET



### Principle of o-Ps $\rightarrow 3\gamma$ decay reconstruction



(Courtesy of A. Gajos)

- 1 Find the decay plane containing the 3 hits in the J-PET barrel
- 2 Transform the hit coordinates to a 2D coordinate system in the decay plane  
 $(X_i, Y_i, Z_i, T_i) \rightarrow (X'_i, Y'_i, 0, T'_i)$
- 3 For each of the recorded  $\gamma$  hits define a circle of possible origin points of the incident photon assuming o-Ps decay at time  $t$
- 4 Find the decay point  $(x', y')$  in the decay plane and time  $t$  as an intersection of 3 circles by solving the following equation system:

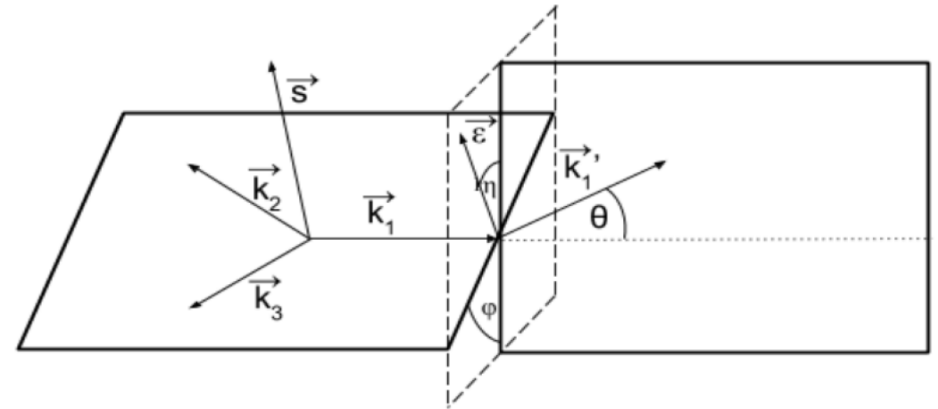
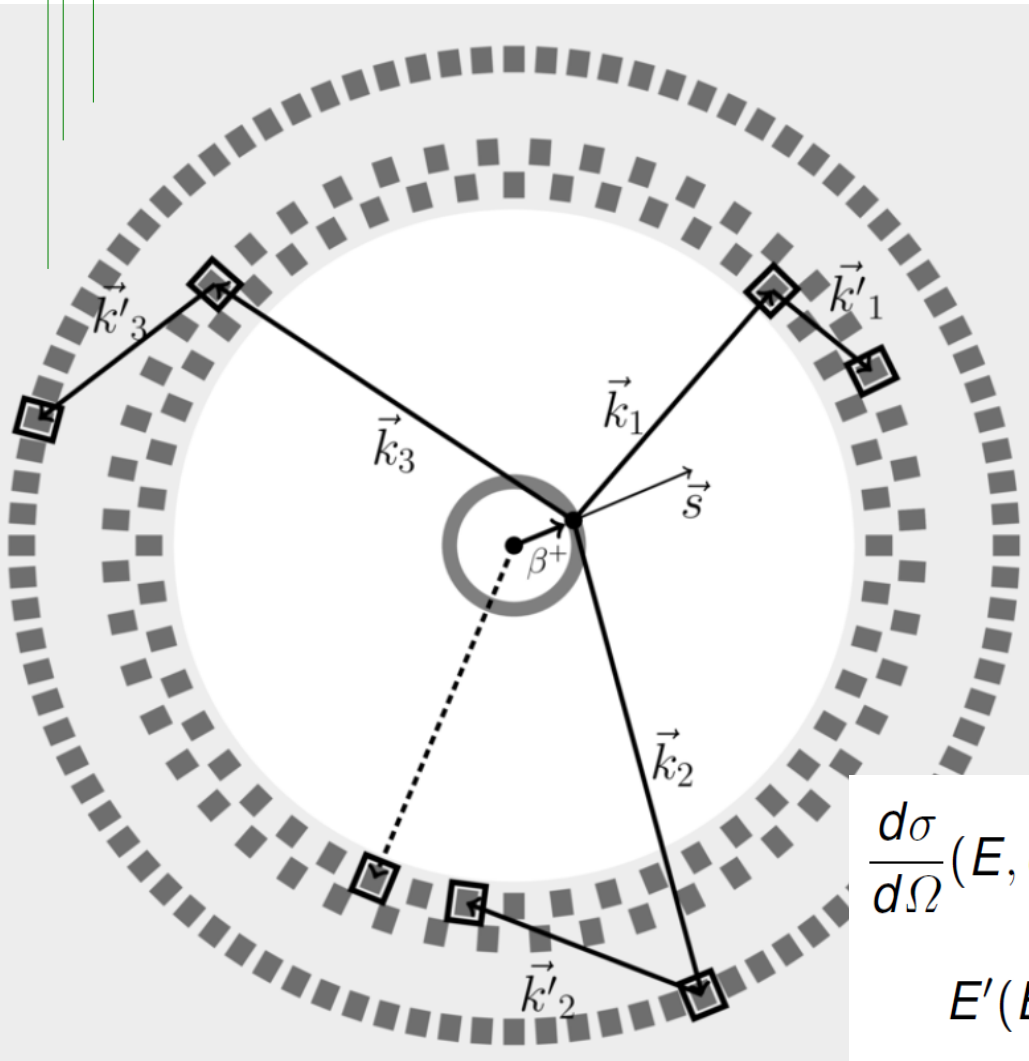
$$(T_i - t)^2 c^2 = (X'_i - x')^2 + (Y'_i - y')^2, \quad i = 1, 2, 3$$

where:  $x', y', t$  - unknowns,  $T_i$  - time of  $i$ -th hit,  $X'_i, Y'_i$  - coordinates of the  $i$ -th hit in the barrel expressed in the decay plane coordinates

- 5 Transform  $(x', y', t)$  of the decay point back to the detector 3D coordinate system



# Wyznaczenie polaryzacji anihilacyjnych kwantów $\gamma$

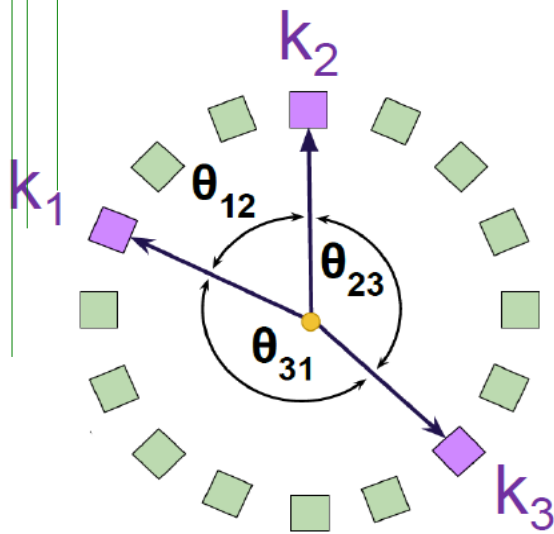


$$\frac{d\sigma}{d\Omega}(E, \theta, \eta) = \frac{r_0^2}{2} \left( \frac{E'}{E} \right)^2 \left( \frac{E}{E'} + \frac{E'}{E} - 2 \sin^2 \theta \cos^2 \eta \right)$$

$$E'(E, \theta) = \frac{E}{1 + \frac{E}{m_e c^2} (1 - \cos \theta)}$$

# Wyznaczenie energii

## anihilacyjnych kwantów $\gamma$



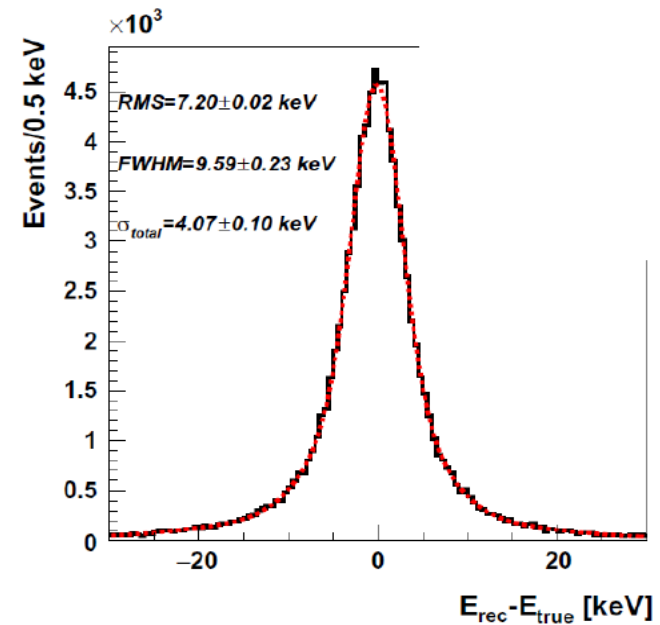
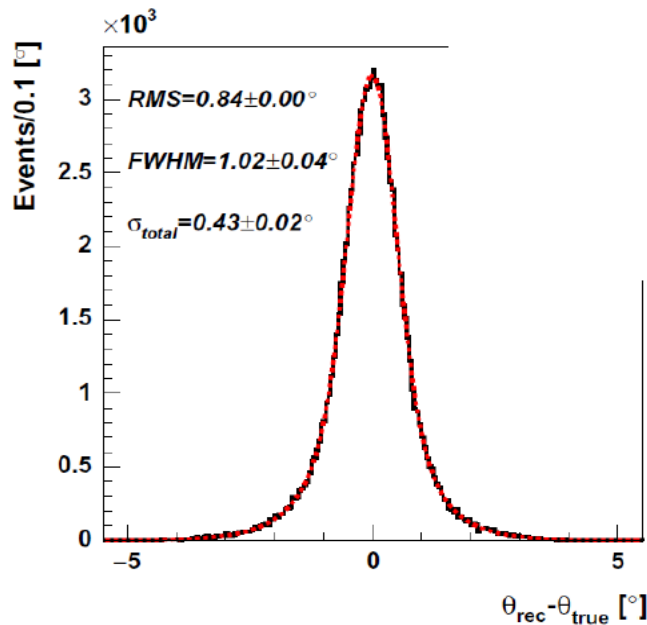
$o\text{-Ps} \rightarrow 3\gamma$

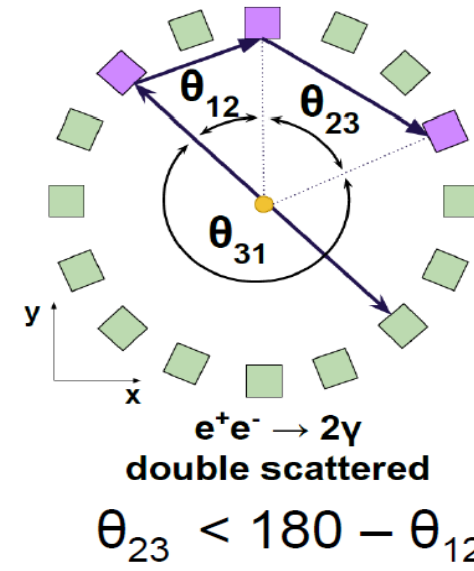
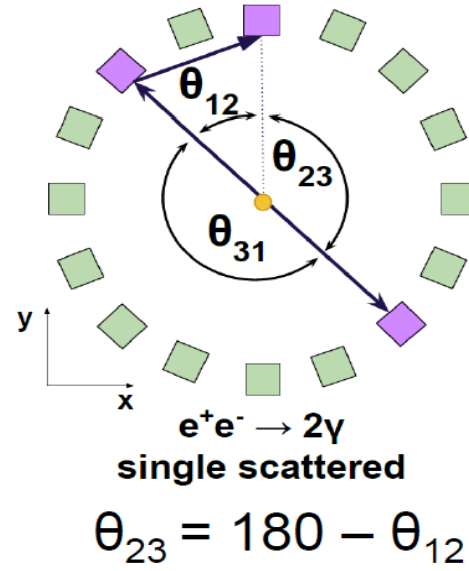
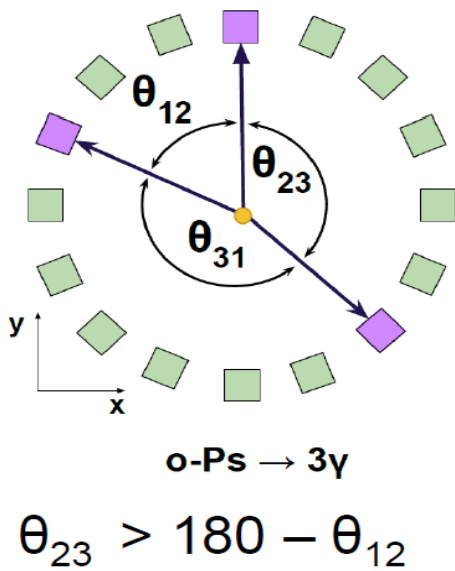
$$E_1 = -2m_e \frac{-\cos\theta_{13} + \cos\theta_{12}\cos\theta_{23}}{(-1 + \cos\theta_{12})(1 + \cos\theta_{12} - \cos\theta_{13} - \cos\theta_{23})},$$

$$E_2 = -2m_e \frac{\cos\theta_{12}\cos\theta_{13} - \cos\theta_{23}}{(-1 + \cos\theta_{12})(1 + \cos\theta_{12} - \cos\theta_{13} - \cos\theta_{23})},$$

$$E_3 = 2m_e \frac{1 + \cos\theta_{12}}{1 + \cos\theta_{12} - \cos\theta_{13} - \cos\theta_{23}}.$$

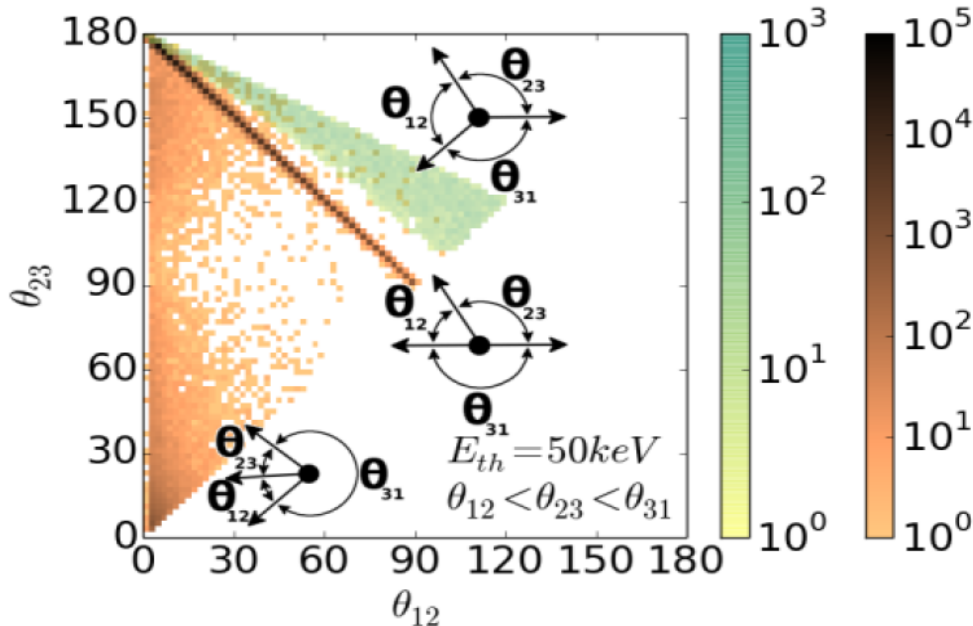
J-PET: D. Kamińska et al., Eur. Phys. J. C76 (2016) 445





# Simulations

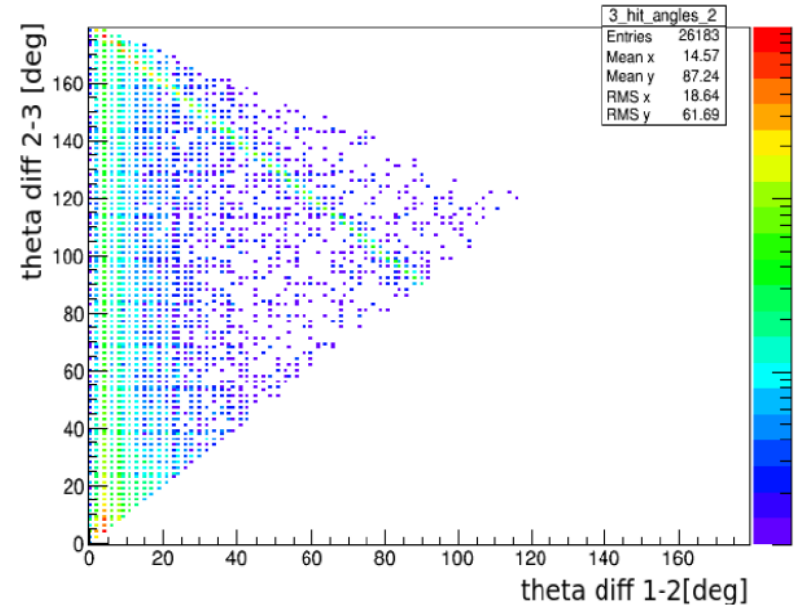
Eur. Phys. J. C76 (2016) 445



# EXPERIMENT Run-1

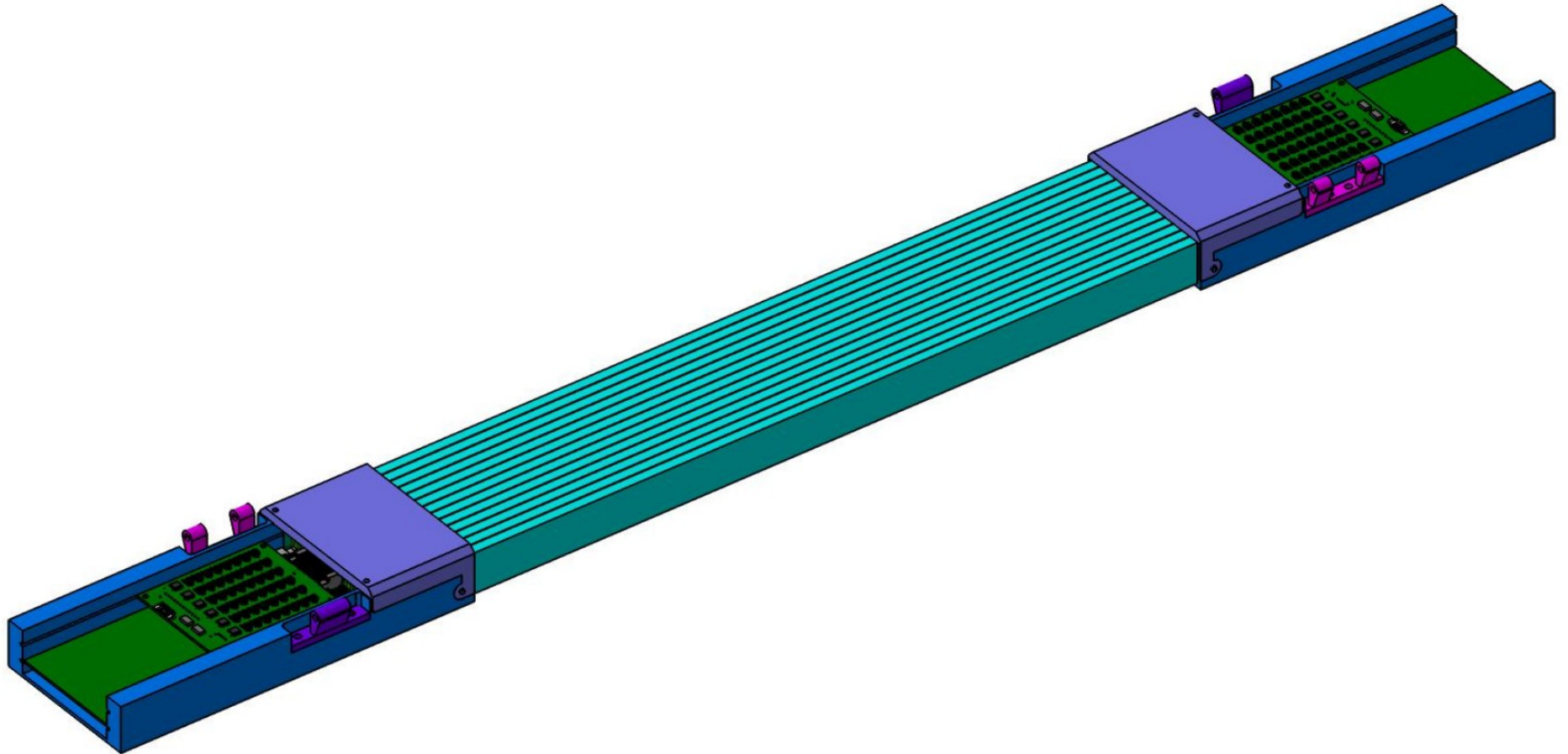
analysed by K. Kacprzak

3 Hit angles difference



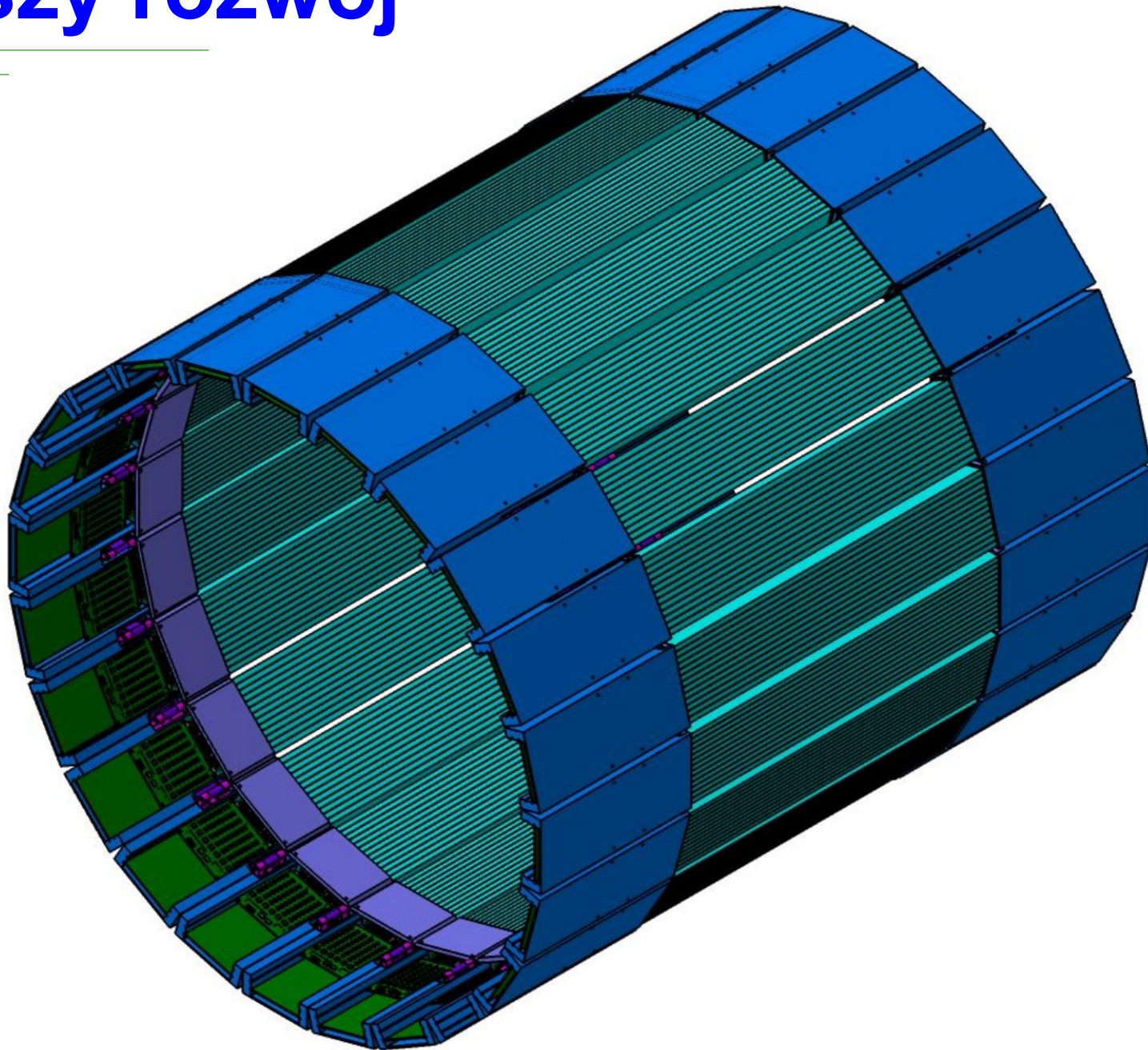
$$\theta_{12} < \theta_{23} < \theta_{31}$$

# Dalszy rozwój



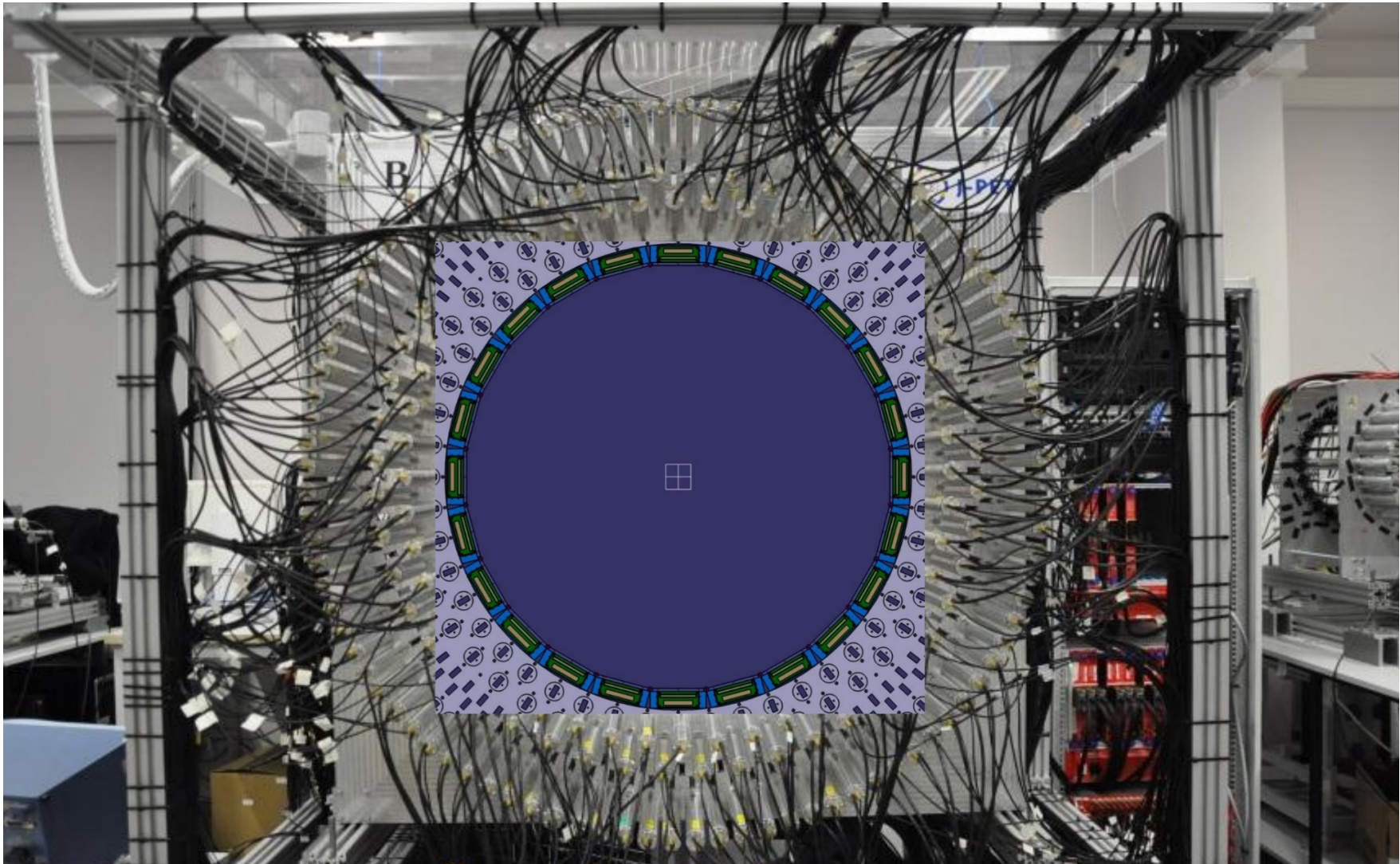


# Dalszy rozwój





# Dalszy rozwój



# Podsumowanie



1. Pierwszy na świecie tomograf PET zbudowany w oparciu o scyntylatory plastikowe zbiera dane
2. Eksperymentalne potwierdzenie symulacji możliwości redukcji tła oraz identyfikacji kwantów gamma z bezpośredniej anihilacji
3. Finalizacja synchronizacji czasowej układu i rozpoczęcie analizy *GPS*
4. Dalszy rozwój detektora z wykorzystaniem SiPM



A photograph of a laboratory setup for a PET scanner. The central feature is a large, circular detector ring, densely packed with electronic modules and connected by a complex network of black cables. A white label with the 'J-PET' logo is visible on the upper part of the ring. To the right, a server rack contains several units, including a red network switch and a red server. The background shows a typical laboratory environment with a desk, a chair, and overhead lighting.

*Dziękuję za uwagę*